

REGIONE SARDEGNA

Città Metropolitana di Sassari (SS)

COMUNE DI ITTIRI




1	EMISSIONE PER ENTI ESTERNI	16/01/23	ANTEX	SIGNORELLO A.	NASTASI A.
0	EMISSIONE PER COMMENTI	30/11/22	ANTEX	SIGNORELLO A.	NASTASI A.
REV.	DESCRIZIONE	DATA	REDATTO	CONTROL.	APPROV.

Committente: PV ITALY 1 S.r.l  Sede legale in Via dell'Annunciata, 23/4, 20121, Milano Partita I.V.A. 11515530969 – PEC: pv_italy1@pec.it		Società di Sviluppo: AVAPA ENERGY Sede legale in Via Galliera, 28, 40121, Bologna Partita I.V.A. 03816011203 – PEC: avapaenergysrl@legalmail.it		
Società di Progettazione: Ingegneria & Innovazione  Via Jonica, 16 – Loc. Belvedere 96100 Siracusa (SR) Tel.: 0931.1663409 Web: www.antexgroup.it E-mail: info@antexgroup.it		Società di Sviluppo:  Via Don Luigi Sturzo, 6/c 74020 Roccaforzata (TA) PEC: enecosrls@legal.mail.it Part. IVA 02987670730		
Progetto: IMPIANTO AGRI-VOLTAICO DI POTENZA NOMINALE 25.633,68 kWp E RELATIVE OPERE DI CONNESSIONE ALLA RTN DA REALIZZARSI IN COMUNE DI ITTIRI (SS)			Progettista/Resp. Tecnico: Dott. Ing. Antonino Signorello Ordine degli Ingegneri della Provincia di Catania N° 6105 sez. A	
Elaborato: RELAZIONE DI CALCOLO–TABULATI– FONDAZIONE CABINA SOTTOCAMPO				
Scala:	Nome DIS/FILE:	Allegato:	F.to:	Livello:
N.A.	C21036S05–PD–RT–05–01	1/1	A4	DEFINITIVO

Il presente documento è di proprietà della ANTEX GROUP srl.


È vietato la comunicazione a terzi o la riproduzione senza il permesso scritto della suddetta. La società tutela i propri diritti a rigore di Legge.



PV ITALY 1 S.r.l	IMPIANTO AGRI-VOLTAICO DI POTENZA NOMINALE 25.633,68 KWP E RELATIVE OPERE DI CONNESSIONE ALLA RTN DA REALIZZARSI IN COMUNE DI ITTIRI (SS)	 Antex <small>group</small> <i>Ingegneria & Innovazione</i>	
	RELAZIONE DI CALCOLO-TABULATI- FONDAZIONE CABINA SOTTOCAMPO	16/01/2023	REV: 1

Sommario

PREMESSA	3
1 - DESCRIZIONE GENERALE DELL'OPERA	3
2 - NORMATIVA DI RIFERIMENTO	4
3 - MATERIALI IMPIEGATI E RESISTENZE DI CALCOLO	5
4 - TERRENO DI FONDAZIONE	7
5 - ANALISI DEI CARICHI	8
6 - VALUTAZIONE DELL'AZIONE SISMICA	9
7 - AZIONI SULLA STRUTTURA	15
8 - CODICE DI CALCOLO IMPIEGATO	18
9 - PROGETTO E VERIFICA DEGLI ELEMENTI STRUTTURALI	23
10 - TABULATI DI CALCOLO	26
11 - RELAZIONE GEOTECNICA	34

PV ITALY 1 S.r.l	IMPIANTO AGRI-VOLTAICO DI POTENZA NOMINALE 25.633,68 KWP E RELATIVE OPERE DI CONNESSIONE ALLA RTN DA REALIZZARSI IN COMUNE DI ITTIRI (SS)	 Antex group Ingegneria & Innovazione	
	RELAZIONE DI CALCOLO-TABULATI- FONDAZIONE CABINA SOTTOCAMPO		

PREMESSA

Per conto della società proponente, PV ITALY 1 S.r.l la società Antex Group Srl ha redatto il progetto definitivo relativo alla realizzazione di un impianto di produzione di energia elettrica da fonte solare, da realizzarsi nel territorio del Comune di Ittiri nella Città Metropolitana di Sassari. Il progetto prevede l'installazione di n. 38.304 moduli fotovoltaici in silicio monocristallino da 670 Wp ciascuno, su strutture ad inseguimento monoassiale in acciaio zincato a caldo, con una potenza complessiva pari a 25.633,68 kWp. Tutta l'energia elettrica prodotta verrà ceduta alla rete tramite collegamento in antenna a 36 kV sul futuro ampliamento a 36 kV della stazione elettrica (SE) RTN 380 kV "Ittiri". Le attività di progettazione definitiva e di studio di impatto ambientale sono state sviluppate dalla società di ingegneria Antex Group Srl. Antex Group Srl è una società che fornisce servizi globali di consulenza e management ad Aziende private ed Enti pubblici che intendono realizzare opere ed investimenti su scala nazionale ed internazionale. È costituita da selezionati e qualificati professionisti uniti dalla comune esperienza professionale nell'ambito delle consulenze ingegneristiche, tecniche, ambientali, gestionali, legali e di finanza agevolata e pone a fondamento delle attività, quale elemento essenziale della propria esistenza come unità economica organizzata ed a garanzia di un futuro sviluppo, i principi della qualità, come espressi dalle norme ISO 9001, ISO 14001 e OHSAS 18001 nelle loro ultime edizioni. Antex Group in un'ottica di sviluppo sostenibile proprio e per i propri clienti, è in possesso di un proprio Sistema di Gestione Qualità certificato ISO 9001:2015 per attività di "Servizi tecnico-professionali di ingegneria multidisciplinare".

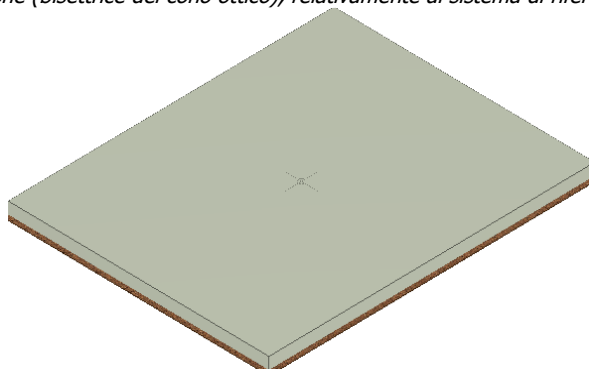
1 - DESCRIZIONE GENERALE DELL'OPERA

All'interno dell'area d'impianto sono previste 4 cabine sottocampo, esse sono prefabbricate su una platea in c.a. di cls C 25/30 B450C delle dimensioni di 6,10x2,50m e dello spessore di 40cm. Le cabine saranno consegnate dal fornitore complete dei relativi calcoli strutturali eseguiti nel rispetto normativa vigente.

Vengono riportate di seguito due viste assonometriche contrapposte, allo scopo di consentire una migliore comprensione della struttura oggetto della presente relazione:


Vista Anteriore

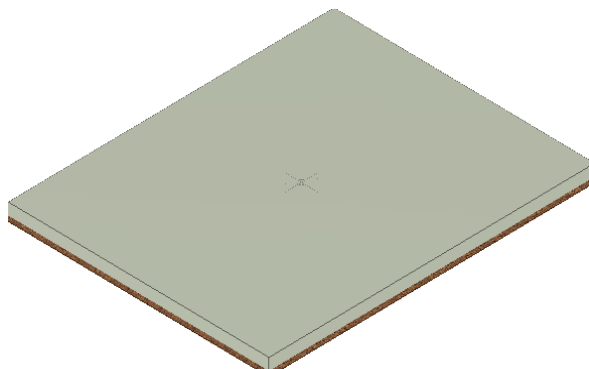
La direzione di visualizzazione (bisettrice del cono ottico), relativamente al sistema di riferimento globale 0,X,Y, Z, ha versore (1;1;-1)



Vista Posteriore

La direzione di visualizzazione (bisettrice del cono ottico), relativamente al sistema di riferimento globale 0,X,Y, Z, ha versore (-1;-1;-1)

PV ITALY 1 S.r.l	IMPIANTO AGRI-VOLTAICO DI POTENZA NOMINALE 25.633,68 KWP E RELATIVE OPERE DI CONNESSIONE ALLA RTN DA REALIZZARSI IN COMUNE DI ITTIRI (SS)	 Ingegneria & Innovazione	
	RELAZIONE DI CALCOLO-TABULATI- FONDAZIONE CABINA SOTTOCAMPO	16/01/2023	REV: 1



2 - NORMATIVA DI RIFERIMENTO

Le fasi di analisi e verifica della struttura sono state condotte in accordo alle seguenti disposizioni normative, per quanto applicabili in relazione al criterio di calcolo adottato dal progettista, evidenziato nel prosieguo della presente relazione:

Legge 5 novembre 1971 n. 1086 (G.U. 21 dicembre 1971 n. 321)

"Norme per la disciplina delle opere di conglomerato cementizio armato, normale e precompresso ed a struttura metallica".

Legge 2 febbraio 1974 n. 64 (G.U. 21 marzo 1974 n. 76)

"Provvedimenti per le costruzioni con particolari prescrizioni per le zone sismiche".

Indicazioni progettive per le nuove costruzioni in zone sismiche a cura del Ministero per la Ricerca scientifica - Roma 1981.

D. M. Infrastrutture Trasporti 17/01/2018 (G.U. 20/02/2018 n. 42 - Suppl. Ord. n. 8)


"Aggiornamento delle Norme tecniche per le Costruzioni".

Inoltre, in mancanza di specifiche indicazioni, ad integrazione della norma precedente e per quanto con esse non in contrasto, sono state utilizzate le indicazioni contenute nelle seguenti norme:

Circolare 21 gennaio 2019, n. 7 C.S.LL.PP. (G.U. Serie Generale n. 35 del 11/02/2019 - Suppl. Ord. n. 5)

Istruzioni per l'applicazione dell'«Aggiornamento delle "Norme tecniche per le costruzioni"» di cui al decreto ministeriale 17 gennaio 2018.

Eurocodice 3 - *"Progettazione delle strutture in acciaio"* - EN 1993-1-1.

PV ITALY 1 S.r.l	IMPIANTO AGRI-VOLTAICO DI POTENZA NOMINALE 25.633,68 KWP E RELATIVE OPERE DI CONNESSIONE ALLA RTN DA REALIZZARSI IN COMUNE DI ITTIRI (SS)	 Antex group Ingegneria & Innovazione
	RELAZIONE DI CALCOLO-TABULATI- FONDAZIONE CABINA SOTTOCAMPO	

3 - MATERIALI IMPIEGATI E RESISTENZE DI CALCOLO

Tutti i materiali strutturali impiegati devono essere muniti di marcatura "CE", ed essere conformi alle prescrizioni del "REGOLAMENTO (UE) N. 305/2011 DEL PARLAMENTO EUROPEO E DEL CONSIGLIO del 9 marzo 2011", in merito ai prodotti da costruzione.

Per la realizzazione dell'opera in oggetto saranno impiegati i seguenti materiali:

MATERIALI CALCESTRUZZO ARMATO

Caratteristiche calcestruzzo armato															
N _{id}	γ _k	α _{T,i}	E	G	C _{Erid}	Stz	R _{ck}	R _{cm}	%R _{ck}	γ _c	f _{cd}	f _{ctd}	f _{cfm}	N	n Ac
	[N/m ³]	[1/°C]	[N/mm ²]	[N/mm ²]	[%]		[N/mm ²]	[N/mm ²]			[N/mm ²]	[N/mm ²]	[N/mm ²]		
Cls C25/30_B450C - (C25/30)															
001	25.000	0,000010	31.447	13.103	60	P	30,00	-	0,85	1,50	14,11	1,19	3,07	15	002

LEGENDA:

- N_{id} Numero identificativo del materiale, nella relativa tabella dei materiali.
- γ_k Peso specifico.
- α_{T,i} Coefficiente di dilatazione termica.
- E Modulo elastico normale.
- G Modulo elastico tangenziale.
- C_{Erid} Coefficiente di riduzione del Modulo elastico normale per Analisi Sismica [E_{sisma} = E · c_{Erid}].
- Stz Tipo di situazione: [F] = di Fatto (Esistente); [P] = di Progetto (Nuovo).
- R_{ck} Resistenza caratteristica cubica.
- R_{cm} Resistenza media cubica.
- %R_{ck} Percentuale di riduzione della R_{ck}.
- γ_c Coefficiente parziale di sicurezza del materiale.
- f_{cd} Resistenza di calcolo a compressione.
- f_{ctd} Resistenza di calcolo a trazione.
- f_{cfm} Resistenza media a trazione per flessione.
- n Ac Identificativo, nella relativa tabella materiali, dell'acciaio utilizzato: [-] = parametro NON significativo per il materiale.

MATERIALI ACCIAIO

Caratteristiche acciaio																
N _{id}	γ _k	α _{T,i}	E	G	Stz	f _{yk,1} / f _{yk,2}	f _{tk,1} / f _{tk,2}	f _{yd,1} / f _{yd,2}	f _{td}	γ _s	γ _{M1}	γ _{M2}	γ _{M3,SLV}	γ _{M3,SLE}	γ _{M7} NCnt	Cnt
	[N/m ³]	[1/°C]	[N/mm ²]	[N/mm ²]		[N/mm ²]	[N/mm ²]	[N/mm ²]	[N/mm ²]							
Acciaio B450C - (B450C)																
002	78.500	0,000010	210.000	80.769	P	450,00	-	391,30	-	1,15	-	-	-	-	-	-


LEGENDA:

- N_{id} Numero identificativo del materiale, nella relativa tabella dei materiali.
- γ_k Peso specifico.
- α_{T,i} Coefficiente di dilatazione termica.
- E Modulo elastico normale.
- G Modulo elastico tangenziale.
- Stz Tipo di situazione: [F] = di Fatto (Esistente); [P] = di Progetto (Nuovo).
- f_{tk,1} Resistenza caratteristica a Rottura (per profili con t ≤ 40 mm).
- f_{tk,2} Resistenza caratteristica a Rottura (per profili con 40 mm < t ≤ 80 mm).
- f_{td} Resistenza di calcolo a Rottura (Bulloni).
- γ_s Coefficiente parziale di sicurezza allo SLV del materiale.
- γ_{M1} Coefficiente parziale di sicurezza per instabilità.
- γ_{M2} Coefficiente parziale di sicurezza per sezioni tese indebolite.
- γ_{M3,SLV} Coefficiente parziale di sicurezza per scorrimento allo SLV (Bulloni).
- γ_{M3,SLE} Coefficiente parziale di sicurezza per scorrimento allo SLE (Bulloni).
- γ_{M7} Coefficiente parziale di sicurezza precarico di bulloni ad alta resistenza (Bulloni - NCnt = con serraggio NON controllato; Cnt = con serraggio controllato). [-] = parametro NON significativo per il materiale.
- f_{yk,1} Resistenza caratteristica allo snervamento (per profili con t ≤ 40 mm).
- f_{yk,2} Resistenza caratteristica allo snervamento (per profili con 40 mm < t ≤ 80 mm).
- f_{yd,1} Resistenza di calcolo (per profili con t ≤ 40 mm).

Il presente documento è di proprietà della ANTEX GROUP srl.
 È vietato la comunicazione a terzi o la riproduzione senza il permesso scritto della suddetta.
 La società tutela i propri diritti a rigore di Legge.

Comm.: C21-036-S05



PV ITALY 1 S.r.l	IMPIANTO AGRI-VOLTAICO DI POTENZA NOMINALE 25.633,68 KWP E RELATIVE OPERE DI CONNESSIONE ALLA RTN DA REALIZZARSI IN COMUNE DI ITTIRI (SS)	 Antex group Ingegneria & Innovazione		
	RELAZIONE DI CALCOLO-TABULATI- FONDAZIONE CABINA SOTTOCAMPO	16/01/2023	REV: 1	Pag.6

Caratteristiche acciaio

N_{id}	γ_k	$\alpha_{T,i}$	E	G	Stz	$f_{yk,1}/f_{yk,2}$	$f_{tk,1}/f_{tk,2}$	$f_{yd,1}/f_{yd,2}$	f_{td}	γ_s	γ_{M1}	γ_{M2}	$\gamma_{M3,SLV}$	$\gamma_{M3,SLE}$	γ_{M7}	NCnt	Cnt
	[N/m ²]	[1/°C]	[N/mm ²]	[N/mm ²]		[N/mm ²]	[N/mm ²]	[N/mm ²]	[N/mm ²]								

$f_{yd,2}$ Resistenza di calcolo (per profili con 40 mm < t ≤ 80 mm).

NOTE [-] = Parametro non significativo per il materiale.

TENSIONI AMMISSIBILI ALLO SLE DEI VARI MATERIALI

Tensioni ammissibili allo SLE dei vari materiali

Materiale	SL	Tensione di verifica	$\sigma_{d,amm}$ [N/mm ²]
Cls C25/30_B450C	Caratteristica(RARA)	Compressione Calcestruzzo	14,94
	Quasi permanente	Compressione Calcestruzzo	11,21
Acciaio B450C	Caratteristica(RARA)	Trazione Acciaio	360,00

LEGENDA:

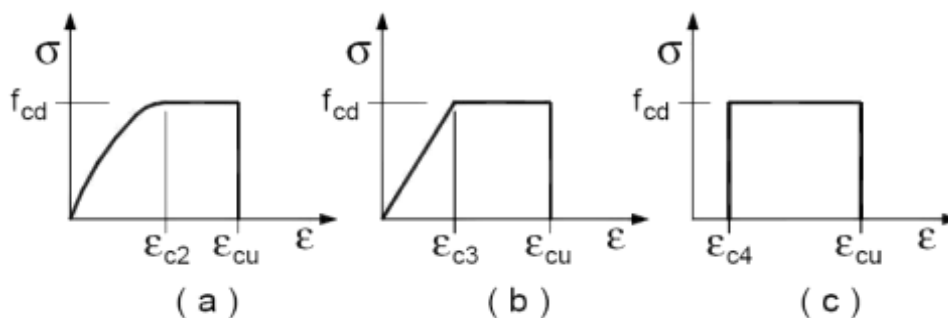
SL Stato limite di esercizio per cui si esegue la verifica.

$\sigma_{d,amm}$ Tensione ammissibile per la verifica.

I valori dei parametri caratteristici dei suddetti materiali sono riportati anche nei “*Tabulati di calcolo*”, nella relativa sezione.

Tutti i materiali impiegati dovranno essere comunque verificati con opportune prove di laboratorio secondo le prescrizioni della vigente Normativa.

I diagrammi costitutivi degli elementi in calcestruzzo sono stati adottati in conformità alle indicazioni riportate al §4.1.2.1.2.1 del D.M. 2018; in particolare per le verifiche effettuate a pressoflessione retta e pressoflessione deviata è adottato il modello (a) riportato nella seguente figura.




Diagrammi di calcolo tensione/deformazione del calcestruzzo.

I valori di deformazione assunti sono:

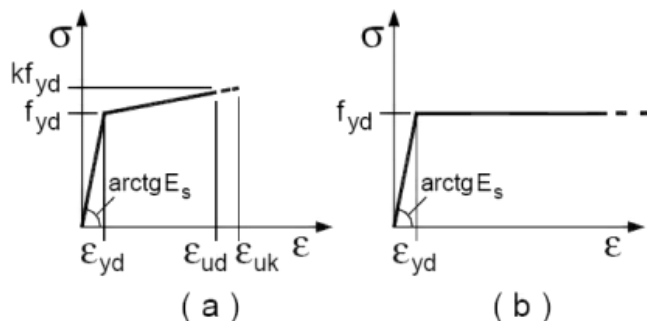
$$\epsilon_{c2} = 0,0020;$$

$$\epsilon_{cu} = 0,0035.$$

PV ITALY 1 S.r.l	IMPIANTO AGRI-VOLTAICO DI POTENZA NOMINALE 25.633,68 KWP E RELATIVE OPERE DI CONNESSIONE ALLA RTN DA REALIZZARSI IN COMUNE DI ITTIRI (SS)	 Antex group Ingegneria & Innovazione	
	RELAZIONE DI CALCOLO-TABULATI- FONDAZIONE CABINA SOTTOCAMPO	16/01/2023	REV: 1

I diagrammi costitutivi dell'acciaio sono stati adottati in conformità alle indicazioni riportate al §4.1.2.1.2.2 del D.M. 2018; in particolare è adottato il modello elastico perfettamente plastico tipo (b) rappresentato nella figura sulla destra.

La resistenza di calcolo è data da f_{yk}/γ_s . Il coefficiente di sicurezza γ_s si assume pari a 1,15.



4 - TERRENO DI FONDAZIONE

Le proprietà meccaniche dei terreni sono state investigate mediante specifiche prove mirate alla misurazione della velocità delle onde di taglio negli strati del sottosuolo. In particolare, è stata calcolata una velocità di propagazione equivalente delle onde di taglio con la seguente relazione (eq. [3.2.1] D.M. 2018):

$$V_{S,eq} = \frac{H}{\sum_{i=1}^N \frac{h_i}{V_{S,i}}}$$

dove:


- h_i è lo spessore dell' i -simo strato;
- $V_{S,i}$ è la velocità delle onde di taglio nell' i -simo strato;
- N è il numero totale di strati investigati;
- H è la profondità del substrato con $V_s \geq 800$ m/s.

Le proprietà dei terreni sono, quindi, state ricondotte a quelle individuate nella seguente tabella, ponendo $H = 30$ m nella relazione precedente ed ottenendo il parametro $V_{S,30}$.

Categorie di sottosuolo che permettono l'utilizzo dell'approccio semplificato (Tab. 3.2.II D.M. 2018)

Categoria	Caratteristiche della superficie topografica
A	<i>Ammassi rocciosi affioranti o terreni molto rigidi</i> caratterizzati da valori di velocità delle onde di taglio superiori a 800 m/s, eventualmente comprendenti in superficie terreni di caratteristiche meccaniche più scadenti con spessore massimo pari a 3 m.
B	<i>Rocce tenere e depositi di terreni a grana grossa molto addensati o terreni a grana fina molto consistenti</i> , caratterizzati da un miglioramento delle proprietà meccaniche con la profondità e da valori di velocità equivalente compresi tra 360 m/s e 800 m/s.
C	<i>Depositi di terreni a grana grossa mediamente addensati o terreni a grana fina mediamente consistenti</i> con profondità del substrato superiori a 30 m, caratterizzati da un miglioramento delle proprietà meccaniche con la profondità e da valori di velocità equivalente compresi tra 180 m/s e 360 m/s.
D	<i>Depositi di terreni a grana grossa scarsamente addensati o di terreni a grana fina scarsamente consistenti</i> , con profondità del substrato superiori a 30 m, caratterizzati da un miglioramento delle proprietà meccaniche con la profondità e da valori di velocità equivalente compresi tra 100 e 180 m/s.
E	<i>Terreni con caratteristiche e valori di velocità equivalente riconducibili a quelle definite per le categorie C o D</i> , con profondità del substrato non superiore a 30 m.

Le indagini effettuate, mirate alla valutazione della velocità delle onde di taglio ($V_{S,30}$), permettono di classificare il profilo stratigrafico, ai fini della determinazione dell'azione sismica, di categoria **C [C - Depositi di terreni a grana grossa mediamente addensati o terreni a grana fina mediamente consistenti]**.

PV ITALY 1 S.r.l	IMPIANTO AGRI-VOLTAICO DI POTENZA NOMINALE 25.633,68 KWP E RELATIVE OPERE DI CONNESSIONE ALLA RTN DA REALIZZARSI IN COMUNE DI ITTIRI (SS)	 Ingegneria & Innovazione		
	RELAZIONE DI CALCOLO-TABULATI- FONDAZIONE CABINA SOTTOCAMPO	16/01/2023	REV: 1	Pag.8

Le costanti di sottofondo (alla Winkler) del terreno sono state corrette secondo la seguente espressione:

$$K = c \cdot K_1;$$

dove:

K_1 = costante di Winkler del terreno riferita alla piastra standard di lato $b = 30$ cm;

c = coefficiente di correzione, funzione del comportamento del terreno e della particolare geometria degli elementi di fondazione. Nel caso di "Riduzione Automatica" è dato dalle successive espressioni (Rif. *Evaluation of coefficients of subgrade reaction K. Terzaghi, 1955 p. 315*):

$$c = \left[\frac{(B + b)}{2 \cdot B} \right]^2 \quad \text{per terreni incoerenti}$$

$$c = \left(\frac{L/B + 0,5}{1,5 \cdot L/B} \right) \cdot \frac{b}{B} \quad \text{per terreni coerenti}$$

Essendo:

$b = 0,30$ m, dimensione della piastra standard;

L = lato maggiore della fondazione;

B = lato minore della fondazione.

Nel caso di stratigrafia la costante di sottofondo utilizzata nel calcolo delle **sollecitazioni** è quella del terreno a contatto con la fondazione, mentre nel calcolo dei **cedimenti** la costante di sottofondo utilizzata è calcolata come media pesata delle costanti di sottofondo presenti nel volume significativo della fondazione.

Tutti i parametri che caratterizzano i terreni di fondazione sono riportati nei "Tabulati di calcolo", nella relativa sezione. Per ulteriori dettagli si rimanda alle relazioni geologica e geotecnica.

5 - ANALISI DEI CARICHI

Un'accurata valutazione dei carichi è un requisito imprescindibile di una corretta progettazione, in particolare per le costruzioni realizzate in zona sismica. Essa, infatti, è fondamentale ai fini della determinazione delle forze sismiche, in quanto incide sulla valutazione delle masse e dei periodi propri della struttura dai quali dipendono i valori delle accelerazioni (ordinate degli spettri di progetto).

La valutazione dei carichi e dei sovraccarichi è stata effettuata in accordo con le disposizioni del punto 3.1 del **D.M. 2018**. In particolare, è stato fatto utile riferimento alle Tabelle 3.1.I e 3.1.II del D.M. 2018, per i pesi propri dei materiali e per la quantificazione e classificazione dei sovraccarichi, rispettivamente.

La valutazione dei carichi permanenti è effettuata sulle dimensioni definitive.

Le analisi effettuate, corredate da dettagliate descrizioni, oltre che nei "Tabulati di calcolo" nella relativa sezione, sono di seguito riportate:

ANALISI CARICHI


N _{id}	T. C.	Descrizione del Carico	Tipologie di Carico	Analisi carichi						
				Peso Proprio		Permanente NON Strutturale		Sovraccarico Accidentale		Caric o Neve
				Descrizione	PP	Descrizione	PNS	Descrizione	SA	
001	S	Platea	Autorimessa <= 30kN	*vedi le relative tabelle dei carichi	-	Sottofondo e pavimento di tipo industriale in calcestruzzo	2.000	Rimesse, aree per traffico, parcheggio e sosta di veicoli leggeri (peso a pieno carico fino a 30 kN) (Cat. F – Tab. 3.1.II - DM	2.500	0

Il presente documento è di proprietà della ANTEX GROUP srl.
È vietato la comunicazione a terzi o la riproduzione senza il permesso scritto della suddetta.
La società tutela i propri diritti a rigore di Legge.

Comm.: C21-036-S05

ISO 9001
BUREAU VERITAS
Certification



PV ITALY 1 S.r.l	IMPIANTO AGRI-VOLTAICO DI POTENZA NOMINALE 25.633,68 KWP E RELATIVE OPERE DI CONNESSIONE ALLA RTN DA REALIZZARSI IN COMUNE DI ITTIRI (SS)	 Antex group Ingegneria & Innovazione	
	RELAZIONE DI CALCOLO-TABULATI- FONDAZIONE CABINA SOTTOCAMPO	16/01/2023	REV: 1

Analisi carichi										
N _{id}	T. C.	Descrizione del Carico	Tipologie di Carico	Peso Proprio		Permanente NON Strutturale		Sovraccarico Accidentale		Carico o Neve [N/m ²]
				Descrizione	PP	Descrizione	PNS	Descrizione	SA	
										17.01.2018)

LEGENDA:

- N_{id}** Numero identificativo dell'analisi di carico.
T. C. Identificativo del tipo di carico: [S] = Superficiale - [L] = Lineare - [C] = Concentrato.
PP, PNS, SA Valori, rispettivamente, del Peso Proprio, del Sovraccarico Permanente NON strutturale, del Sovraccarico Accidentale. Secondo il tipo di carico indicato nella colonna "T.C." ("S" - "L" - "C"), i valori riportati nelle colonne "PP", "PNS" e "SA", sono espressi in [N/m²] per carichi Superficiali, [N/m] per carichi Lineari, [N] per carichi Concentrati.

6 - VALUTAZIONE DELL'AZIONE SISMICA

L'azione sismica è stata valutata in conformità alle indicazioni riportate al §3.2 del D.M. 2018. particolare il procedimento per la definizione degli spettri di progetto per i vari Stati Limite per cui sono state effettuate le verifiche è stato il seguente:

- definizione della Vita Nominale e della Classe d'Uso della struttura, il cui uso combinato ha portato alla definizione del Periodo di Riferimento dell'azione sismica;
- individuazione, tramite latitudine e longitudine, dei parametri sismici di base a_g , F_0 e T_c^* per tutti e quattro gli Stati Limite previsti (SLO, SLD, SLV e SLC); l'individuazione è stata effettuata interpolando tra i 4 punti più vicini al punto di riferimento dell'edificio;
- determinazione dei coefficienti di amplificazione stratigrafica e topografica;
- calcolo del periodo T_c corrispondente all'inizio del tratto a velocità costante dello Spettro.

I dati così calcolati sono stati utilizzati per determinare gli Spettri di Progetto nelle verifiche agli Stati Limite considerate.


Si riportano di seguito le coordinate geografiche del sito rispetto al Datum **ED50**:

Latitudine	Longitudine	Altitudine
[°]	[°]	[m]
40.584000	8.585425	405

6.1 Verifiche di regolarità

Sia per la scelta del metodo di calcolo, sia per la valutazione del fattore di comportamento adottato, deve essere effettuato il controllo della regolarità della struttura. tabella seguente riepiloga, per la struttura in esame, le condizioni di regolarità in pianta ed in altezza soddisfatte.

REGOLARITÀ DELLA STRUTTURA IN PIANTA	
La distribuzione di masse e rigidzze è approssimativamente simmetrica rispetto a due direzioni ortogonali e la forma in pianta è compatta, ossia il contorno di ogni orizzontamento è convesso; il requisito può ritenersi soddisfatto, anche in presenza di rientranze in pianta, quando esse non influenzano significativamente la rigidzza nel piano dell'orizzontamento e, per ogni rientranza, l'area compresa tra il perimetro	NO

PV ITALY 1 S.r.l	IMPIANTO AGRI-VOLTAICO DI POTENZA NOMINALE 25.633,68 KWP E RELATIVE OPERE DI CONNESSIONE ALLA RTN DA REALIZZARSI IN COMUNE DI ITTIRI (SS)	 Antex group Ingegneria & Innovazione	
	RELAZIONE DI CALCOLO-TABULATI- FONDAZIONE CABINA SOTTOCAMPO	16/01/2023	REV: 1

dell'orizzontamento e la linea convessa circoscritta all'orizzontamento non supera il 5% dell'area dell'orizzontamento	
Il rapporto tra i lati di un rettangolo in cui la costruzione risulta inscritta è inferiore a 4	NO
Ciascun orizzontamento ha una rigidità nel proprio piano tanto maggiore della corrispondente rigidità degli elementi strutturali verticali da potersi assumere che la sua deformazione in pianta influenzi in modo trascurabile la distribuzione delle azioni sismiche tra questi ultimi e ha resistenza sufficiente a garantire l'efficacia di tale distribuzione	SI

REGOLARITÀ DELLA STRUTTURA IN ALTEZZA	
Tutti i sistemi resistenti alle azioni orizzontali si estendono per tutta l'altezza della costruzione o, se sono presenti parti aventi differenti altezze, fino alla sommità della rispettiva parte dell'edificio	SI
Massa e rigidità rimangono costanti o variano gradualmente, senza bruschi cambiamenti, dalla base alla sommità della costruzione (le variazioni di massa da un orizzontamento all'altro non superano il 25 %, la rigidità non si riduce da un orizzontamento a quello sovrastante più del 30% e non aumenta più del 10%); ai fini della rigidità si possono considerare regolari in altezza strutture dotate di pareti o nuclei in c.a. o pareti e nuclei in muratura di sezione costante sull'altezza o di telai controventati in acciaio, ai quali sia affidato almeno il 50% dell'azione sismica alla base	NO
Il rapporto tra la capacità e la domanda allo SLV non è significativamente diverso, in termini di resistenza, per orizzontamenti successivi (tale rapporto, calcolato per un generico orizzontamento, non deve differire più del 30% dall'analogo rapporto calcolato per l'orizzontamento adiacente); può fare eccezione l'ultimo orizzontamento di strutture intelaiate di almeno tre orizzontamenti	NO
Eventuali restringimenti della sezione orizzontale della costruzione avvengano con continuità da un orizzontamento al successivo; oppure avvengano in modo che il rientro di un orizzontamento non superi il 10% della dimensione corrispondente all'orizzontamento immediatamente sottostante, né il 30% della dimensione corrispondente al primo orizzontamento. Fa eccezione l'ultimo orizzontamento di costruzioni di almeno quattro orizzontamenti, per il quale non sono previste limitazioni di restringimento	SI

La rigidità è calcolata come rapporto fra il taglio complessivamente agente al piano e δ , spostamento relativo di piano (il taglio di piano è la sommatoria delle azioni orizzontali agenti al di sopra del piano considerato). I valori calcolati ed utilizzati per le verifiche sono riportati nei "Tabulati di calcolo" nella relativa sezione.

La struttura è pertanto:

in pianta	in altezza
NON REGOLARE	REGOLARE

6.2 Classe di duttilità

La classe di duttilità è rappresentativa della capacità dell'edificio di dissipare energia in campo anelastico per azioni cicliche ripetute. deformazioni anelastiche devono essere distribuite nel maggior numero di elementi duttili, in particolare le travi, salvaguardando in tal modo i pilastri e soprattutto i nodi travi pilastro che sono gli elementi più fragili. D.M. 2018 definisce due tipi di comportamento strutturale:

- a) comportamento strutturale non-dissipativo;
- b) comportamento strutturale dissipativo.

Per strutture con comportamento strutturale dissipativo si distinguono due livelli di Capacità Dissipativa o Classi di Duttilità (CD).

- CD "A" (Alta);
- CD "B" (Media).


La differenza tra le due classi risiede nell'entità delle plasticizzazioni cui ci si riconduce in fase di progettazione; per ambedue le classi, onde assicurare alla struttura un comportamento dissipativo e duttile evitando rotture fragili e la formazione di meccanismi instabili impreveduti, si fa ricorso ai procedimenti tipici della gerarchia delle resistenze.

La struttura in esame è stata progettata in classe di duttilità **NON DISSIPATIVA**.

*Il presente documento è di proprietà della ANTEX GROUP srl.
È vietato la comunicazione a terzi o la riproduzione senza il permesso scritto della suddetta.
La società tutela i propri diritti a rigore di Legge.*

Comm.: C21-036-S05



PV ITALY 1 S.r.l	IMPIANTO AGRI-VOLTAICO DI POTENZA NOMINALE 25.633,68 KWP E RELATIVE OPERE DI CONNESSIONE ALLA RTN DA REALIZZARSI IN COMUNE DI ITTIRI (SS)	 Antex group Ingegneria & Innovazione
	RELAZIONE DI CALCOLO-TABULATI- FONDAZIONE CABINA SOTTOCAMPO	

6.3 Spettri di Progetto per S.L.U. e S.L.D.

L'edificio è stato progettato per una **Vita Nominale** pari a **50** e per **Classe d'Uso** pari a **1**.

In base alle indagini geognostiche effettuate si è classificato il **suolo** di fondazione di **categoria C**, cui corrispondono i seguenti valori per i parametri necessari alla costruzione degli spettri di risposta orizzontale e verticale:

Stato Limite	a_g/g	F_0	Parametri di pericolosità sismica					
			T^*_c [s]	C_c	T_B [s]	T_c [s]	T_D [s]	S_s
SLO	0.0467	2.482	0.290	1.58	0.153	0.458	1.787	1.50
SLD	0.0508	2.493	0.290	1.58	0.153	0.458	1.803	1.50
SLV	0.1640	2.467	0.379	1.45	0.183	0.548	2.256	1.46
SLC	0.2333	2.417	0.402	1.42	0.190	0.570	2.533	1.36

Per la definizione degli spettri di risposta, oltre all'accelerazione (a_g) al suolo (dipendente dalla classificazione sismica del Comune) occorre determinare il Fattore di Comportamento (q).

Il Fattore di comportamento q è un fattore riduttivo delle forze elastiche introdotto per tenere conto delle capacità dissipative della struttura che dipende dal sistema costruttivo adottato, dalla Classe di Duttilità e dalla regolarità in altezza.

Si è inoltre assunto il **Coefficiente di Amplificazione Topografica** (S_T) pari a **1.00**.

Tali succitate caratteristiche sono riportate negli allegati "Tabulati di calcolo" al punto "DATI GENERALI ANALISI SISMICA".

Per la struttura in esame sono stati utilizzati i seguenti valori:

Stato Limite di Danno

Fattore di Comportamento (q_x) per sisma orizzontale in direzione X: **1.00**;
 Fattore di Comportamento (q_y) per sisma orizzontale in direzione Y: **1.00**;
 Fattore di Comportamento (q_z) per sisma verticale: **1.00** (se richiesto).

Stato Limite di salvaguardia della Vita

Fattore di Comportamento (q_x) per sisma orizzontale in direzione X: **1.500** ;
 Fattore di Comportamento (q_y) per sisma orizzontale in direzione Y: **1.500** ;
 Fattore di Comportamento (q_z) per sisma verticale: **1.50** (se richiesto).


Di seguito si esplicita il calcolo del fattore di comportamento per il sisma orizzontale:

Tipologia (§7.4.3.2 D.M. 2018)	Dir. X	Dir. Y
	A pendolo inverso	A pendolo inverso
Tipologia strutturale	-	-
α_u/α_1	1	1
k_w	-	-
q_0	1.500	1.500
k_R	1.00	

Il fattore di comportamento è calcolato secondo la relazione (7.3.1) del §7.3.1 del D.M. 2018:

$$q = q_0 \cdot k_R;$$

dove:

PV ITALY 1 S.r.l	IMPIANTO AGRI-VOLTAICO DI POTENZA NOMINALE 25.633,68 KWP E RELATIVE OPERE DI CONNESSIONE ALLA RTN DA REALIZZARSI IN COMUNE DI ITTIRI (SS)	 Ingegneria & Innovazione	
	RELAZIONE DI CALCOLO-TABULATI- FONDAZIONE CABINA SOTTOCAMPO	16/01/2023	REV: 1

k_w è il coefficiente che riflette la modalità di collasso prevalente in sistemi strutturali con pareti.

q_0 è il valore massimo del fattore di comportamento che dipende dal livello di duttilità attesa, dalla tipologia strutturale e dal rapporto α_u/α_1 tra il valore dell'azione sismica per il quale si verifica la formazione di un numero di cerniere plastiche tali da rendere la struttura labile e quello per il quale il primo elemento strutturale raggiunge la plasticizzazione a flessione. **NOTA:** il valore proposto di q_0 è già ridotto dell'eventuale coefficiente k_w ;

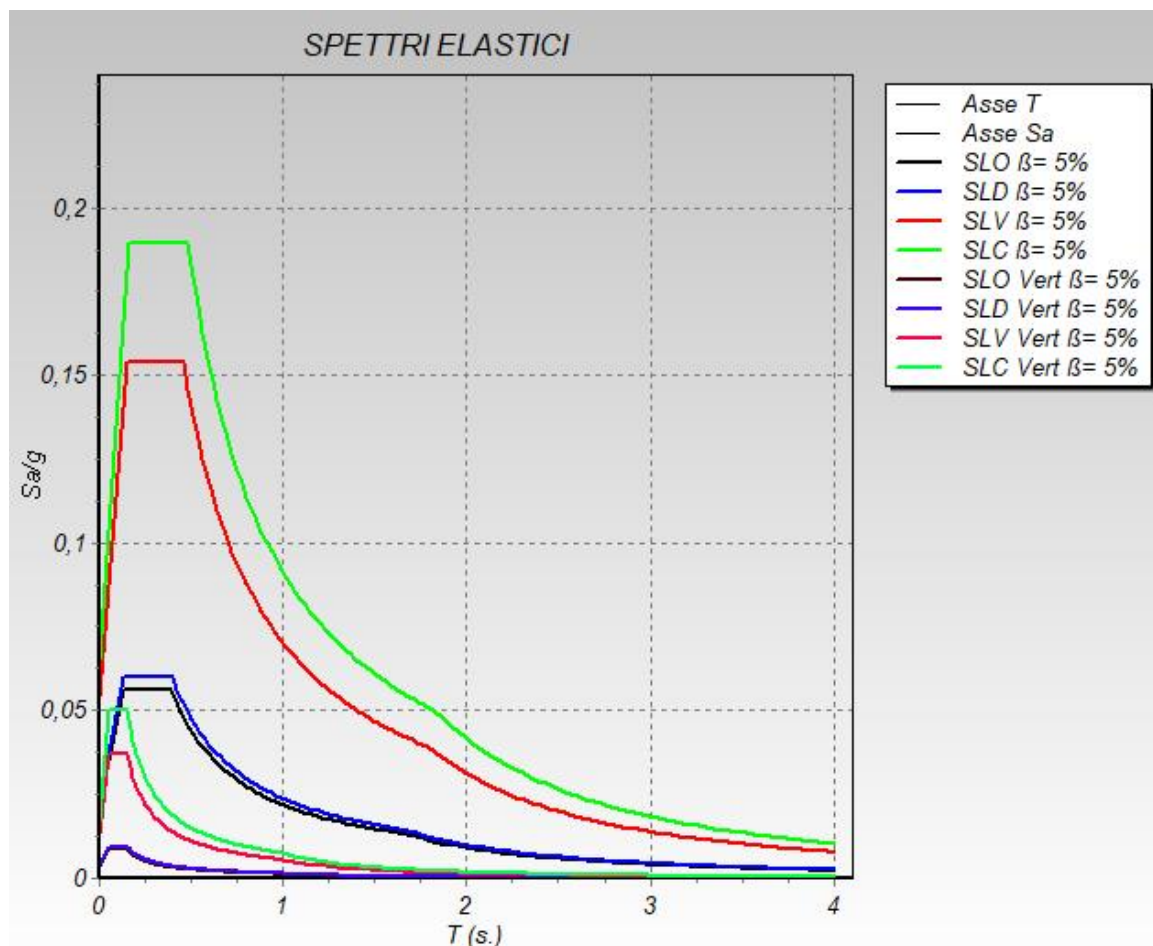
k_R è un fattore riduttivo che dipende dalle caratteristiche di regolarità in altezza della costruzione, con valore pari ad 1 per costruzioni regolari in altezza e pari a 0,8 per costruzioni non regolari in altezza.

N.B.1: Per le costruzioni **regolari in pianta**, qualora non si proceda ad un'analisi non lineare finalizzata alla valutazione del rapporto α_u/α_1 , per esso possono essere adottati i valori indicati nel §7.4.3.2 del D.M. 2018 per le diverse tipologie costruttive. Per le costruzioni **non regolari in pianta**, si possono adottare valori di α_u/α_1 pari alla media tra 1,0 ed i valori di volta in volta forniti per le diverse tipologie costruttive.

Valori massimi del valore di base q_0 del fattore di comportamento allo SLV per costruzioni di calcestruzzo (§ 7.4.3.2 D.M. 2018)(cfr. Tabella 7.3.II D.M. 2018)

Tipologia strutturale	q_0	
	CD"A"	CD"B"
Strutture a telaio, a pareti accoppiate, miste (v. §7.4.3.1)	4,5 α_u/α_1	3,0 α_u/α_1
Strutture a pareti non accoppiate (v. §7.4.3.1)	4,0 α_u/α_1	3,0
Strutture deformabili torsionalmente (v. §7.4.3.1)	3,0	2,0
Strutture a pendolo inverso (v. §7.4.3.1)	2,0	1,5
Strutture a pendolo inverso intelaiate monopiano (v. §7.4.3.1)	3,5	2,5

Gli spettri utilizzati sono riportati nella successiva figura.



6.4 Metodo di Analisi


Gli effetti del sisma sono stati valutati convenzionalmente mediante analisi statica della struttura soggetta a:

- un sistema di forze orizzontali parallele alle direzioni ipotizzate per il sisma, distribuite (sia planimetricamente che altimetricamente) in modo da simulare gli effetti dinamici del sisma.
- un sistema di forze verticali, distribuite sulla struttura proporzionalmente alle masse presenti.

Le sollecitazioni derivanti da tali azioni sono state composte poi con quelle derivanti da carichi verticali, orizzontali non sismici secondo le varie combinazioni di carico probabilistiche. Il calcolo è stato effettuato mediante un programma agli elementi finiti le cui caratteristiche verranno descritte nel seguito.

Il calcolo degli effetti dell'azione sismica è stato eseguito con riferimento alla struttura spaziale, tenendo cioè conto degli elementi interagenti fra loro secondo l'effettiva realizzazione escludendo i tamponamenti. Non ci sono approssimazioni su tetti inclinati, piani sfalsati o scale, solette, pareti irrigidenti e nuclei.

Si è tenuto conto delle deformabilità taglianti e flessionali degli elementi monodimensionali; muri, pareti, setti, solette sono stati correttamente schematizzati tramite elementi finiti a tre/quattro nodi con comportamento a guscio (sia a piastra che a lastra). Sono stati considerati sei gradi di libertà per nodo; in ogni nodo della struttura sono state applicate le forze sismiche derivanti dalle masse circostanti. Le sollecitazioni derivanti da tali forze sono state poi combinate con quelle derivanti dagli altri carichi come prima specificato.

PV ITALY 1 S.r.l	IMPIANTO AGRI-VOLTAICO DI POTENZA NOMINALE 25.633,68 KWP E RELATIVE OPERE DI CONNESSIONE ALLA RTN DA REALIZZARSI IN COMUNE DI ITTIRI (SS)	 Antex group Ingegneria & Innovazione	
	RELAZIONE DI CALCOLO-TABULATI- FONDAZIONE CABINA SOTTOCAMPO	16/01/2023	REV: 1

6.5 Valutazione degli spostamenti

Gli spostamenti d_E della struttura sotto l'azione sismica di progetto allo SLV sono stati ottenuti moltiplicando per il fattore μ_d i valori d_{Ee} ottenuti dall'analisi lineare, dinamica o statica, secondo l'espressione seguente:

$$d_E = \pm \mu_d \cdot d_{Ee}$$

dove

$$\begin{aligned} \mu_d &= q && \text{se } T_1 \geq T_c; \\ \mu_d &= 1 + (q-1) \cdot T_c / T_1 && \text{se } T_1 < T_c. \end{aligned}$$

In ogni caso $\mu_d \leq 5q - 4$.

6.6 Combinazione delle componenti dell'azione sismica

Le azioni orizzontali dovute al sisma sulla struttura vengono convenzionalmente determinate come agenti separatamente in due direzioni tra loro ortogonali prefissate. In generale, però, le componenti orizzontali del sisma devono essere considerate come agenti simultaneamente. A tale scopo, la combinazione delle componenti orizzontali dell'azione sismica è stata tenuta in conto come segue:

- gli effetti delle azioni dovuti alla combinazione delle componenti orizzontali dell'azione sismica sono stati valutati mediante le seguenti combinazioni:

$$E_{EdX} \pm 0,30E_{EdY} \qquad E_{EdY} \pm 0,30E_{EdX}$$

dove:

E_{EdX} rappresenta gli effetti dell'azione dovuti all'applicazione dell'azione sismica lungo l'asse orizzontale X scelto della struttura;

E_{EdY} rappresenta gli effetti dell'azione dovuti all'applicazione dell'azione sismica lungo l'asse orizzontale Y scelto della struttura.

L'azione sismica verticale deve essere considerata in presenza di: elementi pressoché orizzontali con luce superiore a 20 m, elementi pressoché orizzontali precompressi, elementi a sbalzo pressoché orizzontali con luce maggiore di 5 m, travi che sostengono colonne, strutture isolate.

La combinazione della componente verticale del sisma, qualora portata in conto, con quelle orizzontali è stata tenuta in conto come segue:

- gli effetti delle azioni dovuti alla combinazione delle componenti orizzontali e verticali del sisma sono stati valutati mediante le seguenti combinazioni:

$$E_{EdX} \pm 0,30E_{EdY} \pm 0,30E_{EdZ} \qquad E_{EdY} \pm 0,30E_{EdX} \pm 0,30E_{EdZ} \qquad E_{EdZ} \pm 0,30E_{EdX} \pm 0,30E_{EdY}$$

dove:


E_{EdX} e E_{EdY} sono gli effetti dell'azione sismica nelle direzioni orizzontali prima definite;

E_{EdZ} rappresenta gli effetti dell'azione dovuti all'applicazione della componente verticale dell'azione sismica di progetto.

6.7 Eccentricità accidentali

Per valutare le eccentricità accidentali, previste in aggiunta all'eccentricità effettiva. Inoltre, sono state amplificate le forze agenti tramite il fattore $\delta = 1 + 0,6 \cdot x / L_e$, dove (cfr. § 4.3.3.2.4 UNI EN 1998-1:2005):

- x** è la distanza dell'elemento resistente verticale dal baricentro geometrico dell'edificio, misurata perpendicolarmente alla direzione dell'azione sismica considerata;

PV ITALY 1 S.r.l	IMPIANTO AGRI-VOLTAICO DI POTENZA NOMINALE 25.633,68 KWP E RELATIVE OPERE DI CONNESSIONE ALLA RTN DA REALIZZARSI IN COMUNE DI ITTIRI (SS)	 Antex group Ingegneria & Innovazione	
	RELAZIONE DI CALCOLO-TABULATI- FONDAZIONE CABINA SOTTOCAMPO	16/01/2023	REV: 1

L_e è la distanza tra i due elementi resistenti più lontani, misurata allo stesso modo.

7 - AZIONI SULLA STRUTTURA

I calcoli e le verifiche sono condotti con il metodo semiprobabilistico degli stati limite secondo le indicazioni del D.M. 2018. I carichi agenti sui solai, derivanti dall'analisi dei carichi, vengono ripartiti dal programma di calcolo in modo automatico sulle membrature (travi, pilastri, pareti, solette, platee, ecc.).

I carichi dovuti ai tamponamenti, sia sulle travi di fondazione che su quelle di piano, sono schematizzati come carichi lineari agenti esclusivamente sulle aste.

Su tutti gli elementi strutturali è inoltre possibile applicare direttamente ulteriori azioni concentrate e/o distribuite (variabili con legge lineare ed agenti lungo tutta l'asta o su tratti limitati di essa).

Le azioni introdotte direttamente sono combinate con le altre (carichi permanenti, accidentali e sisma) mediante le combinazioni di carico di seguito descritte; da esse si ottengono i valori probabilistici da impiegare successivamente nelle verifiche.

7.1 Stato Limite di Salvaguardia della Vita

Le azioni sulla costruzione sono state cumulate in modo da determinare condizioni di carico tali da risultare più sfavorevoli ai fini delle singole verifiche, tenendo conto della probabilità ridotta di intervento simultaneo di tutte le azioni con i rispettivi valori più sfavorevoli, come consentito dalle norme vigenti.

Per gli stati limite ultimi sono state adottate le combinazioni del tipo:

$$\gamma_{G1} \cdot G_1 + \gamma_{G2} \cdot G_2 + \gamma_P \cdot P + \gamma_{Q1} \cdot Q_{K1} + \gamma_{Q2} \cdot \psi_{02} \cdot Q_{K2} + \gamma_{Q3} \cdot \psi_{03} \cdot Q_{K3} + \dots \quad (1)$$

dove:

- G_1 rappresenta il peso proprio di tutti gli elementi strutturali; peso proprio del terreno, quando pertinente; forze indotte dal terreno (esclusi gli effetti di carichi variabili applicati al terreno); forze risultanti dalla pressione dell'acqua (quando si configurino costanti nel tempo);
- G_2 rappresenta il peso proprio di tutti gli elementi non strutturali;
- P rappresenta l'azione di pretensione e/o precompressione;
- Q azioni sulla struttura o sull'elemento strutturale con valori istantanei che possono risultare sensibilmente diversi fra loro nel tempo:
 - di lunga durata: agiscono con un'intensità significativa, anche non continuativamente, per un tempo non trascurabile rispetto alla vita nominale della struttura;
 - di breve durata: azioni che agiscono per un periodo di tempo breve rispetto alla vita nominale della struttura;
- Q_{ki} rappresenta il valore caratteristico della i-esima azione variabile;
- $\gamma_g, \gamma_q, \gamma_p$ coefficienti parziali come definiti nella Tab. 2.6.I del D.M. 2018;
- ψ_{0i} sono i coefficienti di combinazione per tenere conto della ridotta probabilità di concomitanza delle azioni variabili con i rispettivi valori caratteristici.


Le **10 combinazioni** risultanti sono state costruite a partire dalle sollecitazioni caratteristiche calcolate per ogni condizione di carico elementare: ciascuna condizione di carico accidentale, a rotazione, è stata considerata sollecitazione di base (Q_{k1} nella formula precedente).

I coefficienti relativi a tali combinazioni di carico sono riportati negli allegati "*Tabulati di calcolo*".

In zona sismica, oltre alle sollecitazioni derivanti dalle generiche condizioni di carico statiche, devono essere considerate anche le sollecitazioni derivanti dal sisma. L'azione sismica è stata combinata con le altre azioni secondo la seguente relazione:

$$G_1 + G_2 + P + E + \sum_i \psi_{2i} \cdot Q_{ki}'$$

dove:

PV ITALY 1 S.r.l	IMPIANTO AGRI-VOLTAICO DI POTENZA NOMINALE 25.633,68 KWP E RELATIVE OPERE DI CONNESSIONE ALLA RTN DA REALIZZARSI IN COMUNE DI ITTIRI (SS)	 Antex group Ingegneria & Innovazione	
	RELAZIONE DI CALCOLO-TABULATI- FONDAZIONE CABINA SOTTOCAMPO	16/01/2023	REV: 1

- E rappresenta l'azione sismica per lo stato limite in esame;
 G₁ rappresenta peso proprio di tutti gli elementi strutturali;
 G₂ rappresenta il peso proprio di tutti gli elementi non strutturali;
 P rappresenta l'azione di pretensione e/o precompressione;
 ψ_{2i} coefficiente di combinazione delle azioni variabili Q_i;
 Q_{ki} valore caratteristico dell'azione variabile Q_i.

Gli effetti dell'azione sismica sono valutati tenendo conto delle masse associate ai seguenti carichi gravitazionali:

$$G_k + \sum_i (\psi_{2i} \cdot Q_{ki})$$

I valori dei coefficienti ψ_{2i} sono riportati nella seguente tabella:

Categoria/Azione	ψ _{2i}
Categoria A - Ambienti ad uso residenziale	0,3
Categoria B - Uffici	0,3
Categoria C - Ambienti suscettibili di affollamento	0,6
Categoria D - Ambienti ad uso commerciale	0,6
Categoria E - Biblioteche, archivi, magazzini e ambienti ad uso industriale	0,8
Categoria F - Rimesse e parcheggi (per autoveicoli di peso ≤ 30 kN)	0,6
Categoria G - Rimesse e parcheggi (per autoveicoli di peso > 30 kN)	0,3
Categoria H - Coperture	0,0
Categoria I - Coperture praticabili	*
Categoria K - Coperture per usi speciali (impianti, eliporti, ...)	*
Vento	0,0
Neve (a quota ≤ 1000 m s.l.m.)	0,0
Neve (a quota > 1000 m s.l.m.)	0,2
Variazioni termiche	0,0
* "Da valutarsi caso per caso"	

Le verifiche strutturali e geotecniche delle fondazioni, sono state effettuate con l'**Approccio 2** come definito al §2.6.1 del D.M. 2018, attraverso la combinazione **A1+M1+R3**. Le azioni sono state amplificate tramite i coefficienti della colonna A1 definiti nella Tab. 6.2.I del D.M. 2018.

I valori di resistenza del terreno sono stati ridotti tramite i coefficienti della colonna M1 definiti nella Tab. 6.2.II del D.M. 2018.


Si è quindi provveduto a progettare le armature di ogni elemento strutturale per ciascuno dei valori ottenuti secondo le modalità precedentemente illustrate. Nella sezione relativa alle verifiche dei "*Tabulati di calcolo*" in allegato sono riportati, per brevità, i valori della sollecitazione relativi alla combinazione cui corrisponde il minimo valore del coefficiente di sicurezza.

7.2 Stato Limite di Danno

L'azione sismica, ottenuta dallo spettro di progetto per lo Stato Limite di Danno, è stata combinata con le altre azioni mediante una relazione del tutto analoga alla precedente:

$$G_1 + G_2 + P + E + \sum_i \psi_{2i} \cdot Q_{ki}$$

dove:

PV ITALY 1 S.r.l	IMPIANTO AGRI-VOLTAICO DI POTENZA NOMINALE 25.633,68 KWP E RELATIVE OPERE DI CONNESSIONE ALLA RTN DA REALIZZARSI IN COMUNE DI ITTIRI (SS)	 Antex group Ingegneria & Innovazione	
	RELAZIONE DI CALCOLO-TABULATI- FONDAZIONE CABINA SOTTOCAMPO	16/01/2023	REV: 1

- E rappresenta l'azione sismica per lo stato limite in esame;
- G₁ rappresenta peso proprio di tutti gli elementi strutturali;
- G₂ rappresenta il peso proprio di tutti gli elementi non strutturali;
- P rappresenta l'azione di pretensione e/o precompressione;
- ψ_{2i} coefficiente di combinazione delle azioni variabili Q_i;
- Q_{ki} valore caratteristico dell'azione variabile Q_i.

Gli effetti dell'azione sismica sono valutati tenendo conto delle masse associate ai seguenti carichi gravitazionali:

$$G_K + \sum_i (\psi_{2i} \cdot Q_{ki})$$

I valori dei coefficienti ψ_{2i} sono riportati nella tabella di cui allo SLV.

7.3 Stati Limite di Esercizio

Allo Stato Limite di Esercizio le sollecitazioni con cui sono state semiprogettate le aste in c.a. sono state ricavate applicando le formule riportate nel D.M. 2018 al §2.5.3. Per le verifiche agli stati limite di esercizio, a seconda dei casi, si fa riferimento alle seguenti combinazioni di carico:

rara	frequente	quasi permanente
$\sum_{j \geq 1} G_{kj} + P + Q_{k1} + \sum_{i > 1} \psi_{0i} \cdot Q_{ki}$	$\sum_{j \geq 1} G_{kj} + P + \psi_{11} \cdot Q_{k1} + \sum_{i > 1} \psi_{2i} \cdot Q_{ki}$	$\sum_{j \geq 1} G_{kj} + P + \sum_{i > 1} \psi_{2i} \cdot Q_{ki}$

dove:

- G_{kj}: valore caratteristico della j-esima azione permanente;
- P_{kh}: valore caratteristico della h-esima deformazione impressa;
- Q_{ki}: valore caratteristico dell'azione variabile di base di ogni combinazione;
- Q_{ki}: valore caratteristico della i-esima azione variabile;
- ψ_{0i}: coefficiente atto a definire i valori delle azioni ammissibili di durata breve ma ancora significativi nei riguardi della possibile concomitanza con altre azioni variabili;
- ψ_{1i}: coefficiente atto a definire i valori delle azioni ammissibili ai frattili di ordine 0,95 delle distribuzioni dei valori istantanei;
- ψ_{2i}: coefficiente atto a definire i valori quasi permanenti delle azioni ammissibili ai valori medi delle distribuzioni dei valori istantanei.


Ai coefficienti ψ_{0i}, ψ_{1i}, ψ_{2i} sono attribuiti i seguenti valori:

Azione	ψ _{0i}	ψ _{1i}	ψ _{2i}
Categoria A – Ambienti ad uso residenziale	0,7	0,5	0,3
Categoria B – Uffici	0,7	0,5	0,3
Categoria C – Ambienti suscettibili di affollamento	0,7	0,7	0,6
Categoria D – Ambienti ad uso commerciale	0,7	0,7	0,6
Categoria E – Biblioteche, archivi, magazzini e ambienti ad uso industriale	1,0	0,9	0,8
Categoria F – Rimesse e parcheggi (per autoveicoli di peso ≤ 30 kN)	0,7	0,7	0,6
Categoria G – Rimesse e parcheggi (per autoveicoli di peso > 30 kN)	0,7	0,5	0,3
Categoria H – Coperture	0,0	0,0	0,0
Vento	0,6	0,2	0,0
Neve (a quota ≤ 1000 m s.l.m.)	0,5	0,2	0,0
Neve (a quota > 1000 m s.l.m.)	0,7	0,5	0,2
Variazioni termiche	0,6	0,5	0,0

*Il presente documento è di proprietà della ANTEX GROUP srl.
È vietato la comunicazione a terzi o la riproduzione senza il permesso scritto della suddetta.
La società tutela i propri diritti a rigore di Legge.*

Comm.: C21-036-S05



PV ITALY 1 S.r.l	IMPIANTO AGRI-VOLTAICO DI POTENZA NOMINALE 25.633,68 KWP E RELATIVE OPERE DI CONNESSIONE ALLA RTN DA REALIZZARSI IN COMUNE DI ITTIRI (SS)	 Antex group Ingegneria & Innovazione	
	RELAZIONE DI CALCOLO-TABULATI- FONDAZIONE CABINA SOTTOCAMPO		

In maniera analoga a quanto illustrato nel caso dello SLU le combinazioni risultanti sono state costruite a partire dalle sollecitazioni caratteristiche calcolate per ogni condizione di carico; a turno ogni condizione di carico accidentale è stata considerata sollecitazione di base [Q_{k1} nella formula (1)], con ciò dando origine a tanti valori combinati. Per ognuna delle combinazioni ottenute, in funzione dell'elemento (trave, pilastro, etc...) sono state effettuate le verifiche allo SLE (tensioni, deformazioni e fessurazione).

Negli allegati "*Tabulati Di Calcolo*" sono riportati i coefficienti relativi alle combinazioni di calcolo generate relativamente alle combinazioni di azioni "**Quasi Permanente**" (1), "**Frequente**" (4) e "**Rara**" (4).

Nelle sezioni relative alle verifiche allo SLE dei citati tabulati, inoltre, sono riportati i valori delle sollecitazioni relativi alle combinazioni che hanno originato i risultati più gravosi.

8 - CODICE DI CALCOLO IMPIEGATO

8.1 Denominazione

Nome del Software	CDS WIN
Versione	2022
Caratteristiche del Software	Software per il calcolo di strutture agli elementi finiti
Licenza numero	30204
Produzione e Distribuzione	STS WEB STS Srl, con sede legale in Via Tre Torri,11 95030 S.A. LI BATTIATI (CT), Italia - tel. 095/7252559 - fax 095/213813.

8.2 Sintesi delle funzionalità generali

Il pacchetto consente di modellare la struttura, di effettuare il dimensionamento e le verifiche di tutti gli elementi strutturali e di generare gli elaborati grafici esecutivi.

È una procedura integrata dotata di tutte le funzionalità necessarie per consentire il calcolo completo di una struttura mediante il metodo degli elementi finiti (FEM); la modellazione della struttura è realizzata tramite elementi Beam (travi e pilastri) e Shell (platee, pareti, solette, setti, travi-parete).

L'input della struttura avviene per oggetti (travi, pilastri, solai, solette, pareti, etc.) in un ambiente grafico integrato; il modello di calcolo agli elementi finiti, che può essere visualizzato in qualsiasi momento in una apposita finestra, viene generato dinamicamente dal software.


Apposite funzioni consentono la creazione e la manutenzione di archivi Sezioni, Materiali e Carichi; tali archivi sono generali, nel senso che sono creati una tantum e sono pronti per ogni calcolo, potendoli comunque integrare/modificare in ogni momento.

L'utente non può modificare il codice ma soltanto eseguire delle scelte come:

- definire i vincoli di estremità per ciascuna asta (vincoli interni) e gli eventuali vincoli nei nodi (vincoli esterni);
- modificare i parametri necessari alla definizione dell'azione sismica;
- definire condizioni di carico;
- definire gli impalcati come rigidi o meno.

Il programma è dotato di un manuale tecnico ed operativo. L'assistenza è effettuata direttamente dalla casa produttrice, mediante linea telefonica o e-mail.

Tutti i risultati del calcolo sono forniti, oltre che in formato numerico, anche in formato grafico permettendo

PV ITALY 1 S.r.l	IMPIANTO AGRI-VOLTAICO DI POTENZA NOMINALE 25.633,68 KWP E RELATIVE OPERE DI CONNESSIONE ALLA RTN DA REALIZZARSI IN COMUNE DI ITTIRI (SS)	 Ingegneria & Innovazione	
	RELAZIONE DI CALCOLO-TABULATI- FONDAZIONE CABINA SOTTOCAMPO	16/01/2023	REV: 1
		Pag.19	

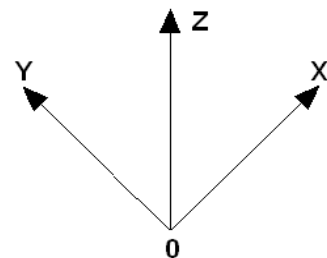
così di evidenziare agevolmente eventuali incongruenze.

Il programma consente la stampa di tutti i dati di input, dei dati del modello strutturale utilizzato, dei risultati del calcolo e delle verifiche dei diagrammi delle sollecitazioni e delle deformate.

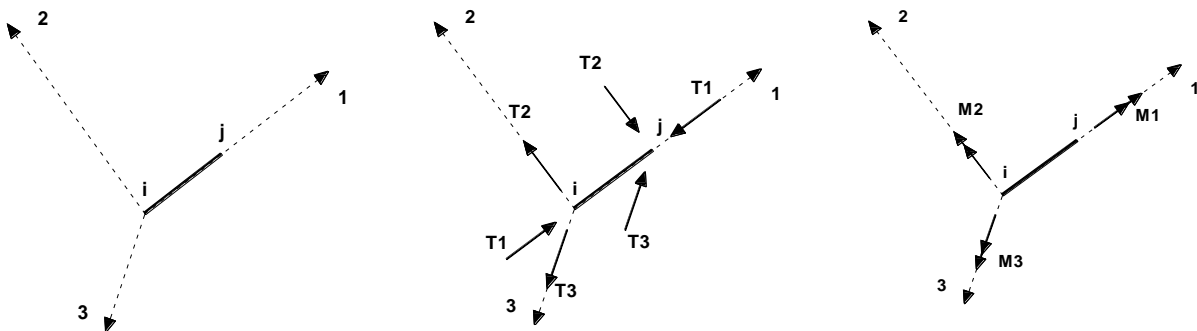
8.3 Sistemi di Riferimento

8.3.1 Riferimento globale

Il sistema di riferimento globale, rispetto al quale va riferita l'intera struttura, è costituito da una terna di assi cartesiani sinistrorsa O, X, Y, Z (X, Y, e Z sono disposti e orientati rispettivamente secondo il pollice, l'indice ed il medio della mano destra, una volta posizionati questi ultimi a 90° tra loro).



8.3.2 Riferimento locale per travi



L'elemento Trave è un classico elemento strutturale in grado di ricevere Carichi distribuiti e Carichi Nodali applicati ai due nodi di estremità; per effetto di tali carichi nascono, negli estremi, sollecitazioni di taglio, sforzo normale, momenti flettenti e torcenti.

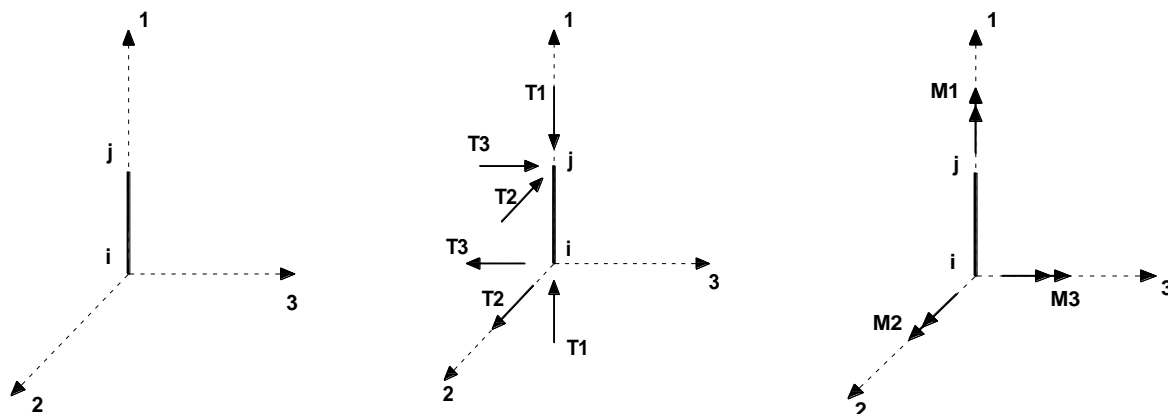
Definiti i e j (nodi iniziale e finale della Trave) viene individuato un sistema di assi cartesiani 1-2-3 locale all'elemento, con origine nel Nodo i così composto:

- asse 1 orientato dal nodo i al nodo j;
- assi 2 e 3 appartenenti alla sezione dell'elemento e coincidenti con gli assi principali d'inerzia della sezione stessa.

Le sollecitazioni verranno fornite in riferimento a tale sistema di riferimento:

1. Sollecitazione di Trazione o Compressione T_1 (agente nella direzione i-j);
2. Sollecitazioni taglianti T_2 e T_3 , agenti nei due piani 1-2 e 1-3, rispettivamente secondo l'asse 2 e l'asse 3;
3. Sollecitazioni che inducono flessione nei piani 1-3 e 1-2 (M_2 e M_3);
4. Sollecitazione torcente M_1 .

8.3.3 Riferimento locale per pilastri




Definiti i e j come i due nodi iniziale e finale del pilastro, viene individuato un sistema di assi cartesiani 1-2-3 locale all'elemento, con origine nel Nodo i così composto:

- asse 1 orientato dal nodo i al nodo j;
- asse 2 perpendicolare all' asse 1, parallelo e discorde all'asse globale Y;
- asse 3 che completa la terna destrorsa, parallelo e concorde all'asse globale X.

Tale sistema di riferimento è valido per Pilastri con angolo di rotazione pari a '0' gradi; una rotazione del pilastro nel piano XY ha l'effetto di ruotare anche tale sistema (ad es. una rotazione di '90' gradi porterebbe l'asse 2 a essere parallelo e concorde all'asse X, mentre l'asse 3 sarebbe parallelo e concorde all'asse globale Y). La rotazione non ha alcun effetto sull'asse 1 che coinciderà sempre e comunque con l'asse globale Z.

Per quanto riguarda le sollecitazioni si ha:

- una forza di trazione o compressione T_1 , agente lungo l'asse locale 1;
- due forze taglienti T_2 e T_3 agenti lungo i due assi locali 2 e 3;
- due vettori momento (flettente) M_2 e M_3 agenti lungo i due assi locali 2 e 3;
- un vettore momento (torcente) M_1 agente lungo l'asse locale nel piano 1.

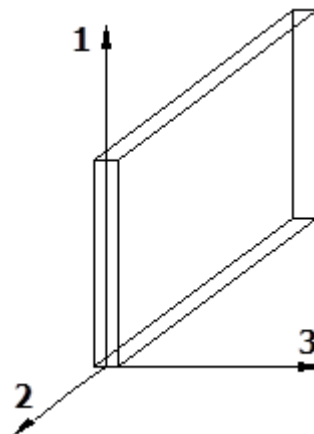
PV ITALY 1 S.r.l	IMPIANTO AGRI-VOLTAICO DI POTENZA NOMINALE 25.633,68 KWP E RELATIVE OPERE DI CONNESSIONE ALLA RTN DA REALIZZARSI IN COMUNE DI ITTIRI (SS)	 Antex group Ingegneria & Innovazione	
	RELAZIONE DI CALCOLO-TABULATI- FONDAZIONE CABINA SOTTOCAMPO	16/01/2023	REV: 1

8.3.4 Riferimento locale per pareti

Una parete è costituita da una sequenza di setti; ciascun setto è caratterizzato da un sistema di riferimento locale 1-2-3 così individuato:

- asse 1, coincidente con l'asse globale Z;
- asse 2, parallelo e discorde alla linea d'asse della traccia del setto in pianta;
- asse 3, ortogonale al piano della parete, che completa la terna levogira.

Su ciascun setto l'utente ha la possibilità di applicare uno o più carichi uniformemente distribuiti comunque orientati nello spazio; le componenti di tali carichi possono essere fornite, a discrezione dell'utente, rispetto al riferimento globale X,Y,Z oppure rispetto al riferimento locale 1,2,3 appena definito.



Si rende necessario, a questo punto, meglio precisare le modalità con cui EdiLus restituisce i risultati di calcolo. Nel modello di calcolo agli elementi finiti ciascun setto è discretizzato in una serie di elementi tipo "shell" interconnessi; il solutore agli elementi finiti integrato nel programma EdiLus, definisce un riferimento locale per ciascun elemento shell e restituisce i valori delle tensioni esclusivamente rispetto a tali riferimenti.

Il software EdiLus provvede ad omogeneizzare tutti i valori riferendoli alla terna 1-2-3. Tale operazione consente, in fase di input, di ridurre al minimo gli errori dovuti alla complessità d'immissione dei dati stessi ed allo stesso tempo di restituire all'utente dei risultati facilmente interpretabili.

Tutti i dati cioè, sia in fase di input che in fase di output, sono organizzati secondo un criterio razionale vicino al modo di operare del tecnico e svincolato dal procedimento seguito dall'elaboratore elettronico.

In tal modo ad esempio, il significato dei valori delle tensioni può essere compreso con immediatezza non solo dal progettista che ha operato con il programma ma anche da un tecnico terzo non coinvolto nell'elaborazione; entrambi, così, potranno controllare con facilità dal tabulato di calcolo, la congruità dei valori riportati.

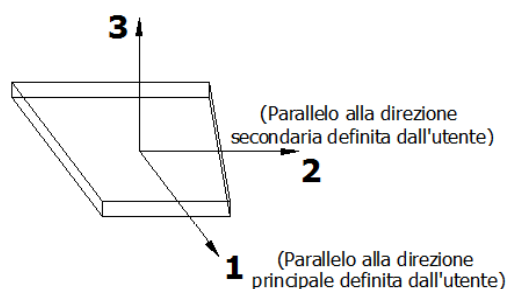
Un'ultima notazione deve essere riservata alla modalità con cui il programma fornisce le armature delle pareti, con riferimento alla faccia anteriore e posteriore.


La faccia anteriore è quella di normale uscente concorde all'asse 3 come prima definito o, identicamente, quella posta alla destra dell'osservatore che percorresse il bordo superiore della parete concordemente al verso di tracciamento.

8.3.5 Riferimento locale per solette e platee

Ciascuna soletta e platea è caratterizzata da un sistema di riferimento locale 1,2,3 così definito:

- asse 1, coincidente con la direzione principale di armatura;
- asse 2, coincidente con la direzione secondaria di armatura;
- asse 3, ortogonale al piano della parete, che completa la terna levogira.



PV ITALY 1 S.r.l	IMPIANTO AGRI-VOLTAICO DI POTENZA NOMINALE 25.633,68 KWP E RELATIVE OPERE DI CONNESSIONE ALLA RTN DA REALIZZARSI IN COMUNE DI ITTIRI (SS)	 Antex group Ingegneria & Innovazione	
	RELAZIONE DI CALCOLO-TABULATI- FONDAZIONE CABINA SOTTOCAMPO		

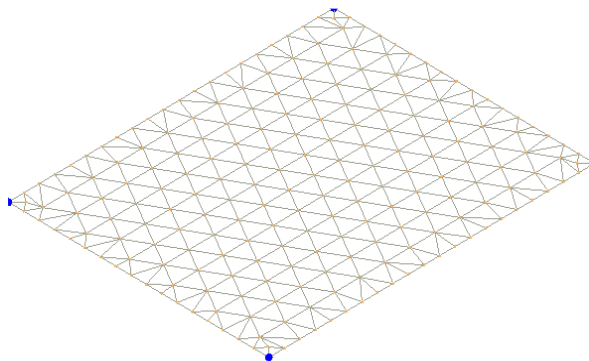
8.4 Modello di Calcolo

Il modello della struttura viene creato automaticamente dal codice di calcolo, individuando i vari elementi strutturali e fornendo le loro caratteristiche geometriche e meccaniche.

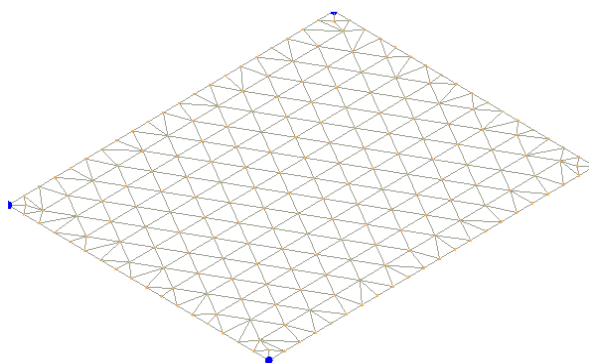
Viene definita un'opportuna numerazione degli elementi (nodi, aste, shell) costituenti il modello, al fine di individuare celermente ed univocamente ciascun elemento nei "*Tabulati di calcolo*".

Qui di seguito è fornita una rappresentazione grafica dettagliata della discretizzazione operata con evidenziazione dei nodi e degli elementi.


Vista Anteriore



Vista Posteriore



Le aste in **c.a.**, sia travi che pilastri, sono schematizzate con un tratto flessibile centrale e da due tratti (braccetti) rigidi alle estremità. I nodi vengono posizionati sull'asse verticale dei pilastri, in corrispondenza dell'estradosso della trave più alta che in esso si collega. Tramite i braccetti i tratti flessibili sono quindi collegati ad esso. In questa maniera il nodo risulta perfettamente aderente alla realtà poiché vengono presi in conto tutti gli eventuali disassamenti degli elementi con gli effetti che si possono determinare, quali momenti

PV ITALY 1 S.r.l	IMPIANTO AGRI-VOLTAICO DI POTENZA NOMINALE 25.633,68 KWP E RELATIVE OPERE DI CONNESSIONE ALLA RTN DA REALIZZARSI IN COMUNE DI ITTIRI (SS)	 Antex group Ingegneria & Innovazione	
	RELAZIONE DI CALCOLO-TABULATI- FONDAZIONE CABINA SOTTOCAMPO	16/01/2023	REV: 1

flettenti/torcenti aggiuntivi.

Le sollecitazioni vengono determinate solo per il tratto flessibile. Sui tratti rigidi, infatti, essendo (teoricamente) nulle le deformazioni, le sollecitazioni risultano indeterminate.

Questa schematizzazione dei nodi viene automaticamente realizzata dal programma anche quando il nodo sia determinato dall'incontro di più travi senza il pilastro, o all'attacco di travi/pilastri con elementi shell.

La modellazione del materiale degli elementi in c.a., acciaio e legno segue la classica teoria dell'elasticità lineare; per cui il materiale è caratterizzato oltre che dal peso specifico, da un modulo elastico (E) e un modulo tagliante (G).

La possibile fessurazione degli elementi in c.a. è stata tenuta in conto nel modello considerando un opportuno decremento del modulo di elasticità e del modulo di taglio, nei limiti di quanto previsto dalla normativa vigente per ciascuno stato limite.

Gli eventuali elementi di **fondazione** (travi, platee, plinti, plinti su pali e pali) sono modellati assumendo un comportamento elastico-lineare sia a trazione che a compressione.

9 - PROGETTO E VERIFICA DEGLI ELEMENTI STRUTTURALI

La verifica degli elementi allo SLU avviene col seguente procedimento:

- si costruiscono le combinazioni non sismiche in base al D.M. 2018, ottenendo un insieme di sollecitazioni;
- si combinano tali sollecitazioni con quelle dovute all'azione del sisma secondo quanto indicato nel §2.5.3, relazione (2.5.5) del D.M. 2018;
- per sollecitazioni semplici (flessione retta, taglio, etc.) si individuano i valori minimo e massimo con cui progettare o verificare l'elemento considerato; per sollecitazioni composte (pressoflessione retta/deviata) vengono eseguite le verifiche per tutte le possibili combinazioni e solo a seguito di ciò si individua quella che ha originato il minimo coefficiente di sicurezza.

9.1 Verifiche di Resistenza

9.1.1 Elementi in C.A.

Illustriamo, in dettaglio, il procedimento seguito in presenza di pressoflessione deviata (pilastri e trave di sezione generica):


- per tutte le terne M_x , M_y , N , individuate secondo la modalità precedentemente illustrata, si calcola il coefficiente di sicurezza in base alla formula 4.1.19 del D.M. 2018, effettuando due verifiche a pressoflessione retta con la seguente formula:

$$\left(\frac{M_{Ex}}{M_{Rx}}\right)^\alpha + \left(\frac{M_{Ey}}{M_{Ry}}\right)^\alpha \leq 1$$

dove:

M_{Ex} , M_{Ey} sono i valori di calcolo delle due componenti di flessione retta dell'azione attorno agli assi di flessione X ed Y del sistema di riferimento locale;

M_{Rx} , M_{Ry} sono i valori di calcolo dei momenti resistenti di pressoflessione retta corrispondenti allo sforzo assiale N_{Ed} valutati separatamente attorno agli assi di flessione.

PV ITALY 1 S.r.l	IMPIANTO AGRI-VOLTAICO DI POTENZA NOMINALE 25.633,68 KWP E RELATIVE OPERE DI CONNESSIONE ALLA RTN DA REALIZZARSI IN COMUNE DI ITTIRI (SS)	 Ingegneria & Innovazione	
	RELAZIONE DI CALCOLO-TABULATI- FONDAZIONE CABINA SOTTOCAMPO	16/01/2023	REV: 1

L'esponente α può dedursi in funzione della geometria della sezione, della percentuale meccanica dell'armatura e della sollecitazione di sforzo normale agente.

- se per almeno una di queste terne la relazione 4.1.19 non è rispettata, si incrementa l'armatura variando il diametro delle barre utilizzate e/o il numero delle stesse in maniera iterativa fino a quando la suddetta relazione è rispettata per tutte le terne considerate.

Sempre quanto concerne il progetto degli elementi in c.a. illustriamo in dettaglio il procedimento seguito per le travi verificate/semiprogettate a pressoflessione retta:

- per tutte le coppie M_x , N , individuate secondo la modalità precedentemente illustrata, si calcola il coefficiente di sicurezza in base all'armatura adottata;
- se per almeno una di queste coppie esso è inferiore all'unità, si incrementa l'armatura variando il diametro delle barre utilizzate e/o il numero delle stesse in maniera iterativa fino a quando il coefficiente di sicurezza risulta maggiore o al più uguale all'unità per tutte le coppie considerate.

Nei "Tabulati di calcolo", per brevità, non potendo riportare una così grossa mole di dati, si riporta la terna M_x , M_y , N , o la coppia M_x , N che ha dato luogo al minimo coefficiente di sicurezza.

Una volta semiprogettate le armature allo SLU, si procede alla verifica delle sezioni allo Stato Limite di Esercizio con le sollecitazioni derivanti dalle combinazioni rare, frequenti e quasi permanenti; se necessario, le armature vengono integrate per far rientrare le tensioni entro i massimi valori previsti. si procede alle verifiche alla deformazione, quando richiesto, ed alla fessurazione che, come è noto, sono tese ad assicurare la durabilità dell'opera nel tempo.

9.1.1.1 Fondazioni superficiali


Le metodologie, i modelli usati ed i risultati del calcolo del carico limite sono esposti nella relazione GEOTECNICA.

9.2 Gerarchia delle Resistenze

9.2.1 Elementi in C.A.

Relativamente agli elementi in c.a., sono state applicate le disposizioni contenute al §7.4.4 del D.M. 2018. Più in particolare:

- per le **travi**, al fine di escludere la formazione di meccanismi inelastici dovuti al **taglio**, le sollecitazioni di calcolo si ottengono sommando il contributo dovuto ai carichi gravitazionali agenti sulla trave, considerata incernierata agli estremi, alle sollecitazioni di taglio corrispondenti alla formazione delle cerniere plastiche nella trave e prodotte dai momenti resistenti delle due sezioni di estremità, amplificati del fattore di sovrarresistenza γ_{Rd} assunto pari, rispettivamente, ad 1,20 per strutture in CD"A", ad 1,10 per strutture in CD"B". La verifica di resistenza è eseguita secondo le indicazioni del par. 7.4.4.1.1 D.M. 2018.
- per i **pilastri**, al fine di scongiurare l'attivazione di meccanismi fragili globali, come il meccanismo di "piano debole" che comporta la plasticizzazione, anticipata rispetto alle travi, di gran parte dei pilastri di un piano, il progetto a **flessione** delle zone dissipative dei pilastri è effettuato considerando le sollecitazioni corrispondenti alla resistenza delle zone dissipative delle travi amplificata mediante il coefficiente γ_{Rd} che vale 1,3 in CD"A" e 1,3 per CD"B". In tali casi, generalmente, il meccanismo dissipativo prevede la localizzazione delle cerniere alle estremità delle travi e le sollecitazioni di progetto dei pilastri possono essere ottenute a partire dalle resistenze d'estremità delle travi che su di essi convergono, facendo in modo

PV ITALY 1 S.r.l	IMPIANTO AGRI-VOLTAICO DI POTENZA NOMINALE 25.633,68 KWP E RELATIVE OPERE DI CONNESSIONE ALLA RTN DA REALIZZARSI IN COMUNE DI ITTIRI (SS)	 Antex group Ingegneria & Innovazione	
	RELAZIONE DI CALCOLO-TABULATI- FONDAZIONE CABINA SOTTOCAMPO	16/01/2023	REV: 1

che, per ogni nodo trave-pilastro ed ogni direzione e verso dell'azione sismica, la resistenza complessiva dei pilastri sia maggiore della resistenza complessiva delle travi amplificata del coefficiente γ_{Rd} , in accordo con la formula (7.4.4) del D.M. 2018. Le verifiche di resistenza sono eseguite secondo le indicazioni del par. 7.4.4.2.1 D.M. 2018.


Al fine di escludere la formazione di meccanismi inelastici dovuti al **taglio**, le sollecitazioni di calcolo da utilizzare per le verifiche ed il dimensionamento delle armature si ottengono dalla condizione di equilibrio del pilastro soggetto all'azione dei momenti resistenti nelle sezioni di estremità superiore ed inferiore secondo l'espressione (7.4.5). Le verifiche di resistenza sono eseguite secondo le indicazioni del par. 7.4.4.2.1.

- per i **nodi trave-pilastro**, si deve verificare che la resistenza del nodo sia tale da assicurare che non pervenga a rottura prima delle zone della trave e del pilastro ad esso adiacente. L'azione di taglio, agente in direzione orizzontale per le varie direzioni del sisma, nel nucleo di calcestruzzo del nodo è calcolata secondo l'espressione (7.4.6) per i nodi interni e (7.4.7) per quelli esterni. Le verifiche di resistenza sono eseguite invece secondo le indicazioni del §7.4.4.3.1 D.M. 2018.
- per i **setti** sismo resistenti, le sollecitazioni di calcolo sono determinate secondo quanto indicato nel par. 7.4.4.5 D.M. 2018 Le verifiche di resistenza sono eseguite invece secondo le indicazioni del par. 7.4.4.5.1 D.M. 2018.

9.2.2 Fondazioni

Per quanto riguarda la struttura di fondazione sono applicate le disposizioni contenute al §7.2.5 del D.M. 2018. Più in particolare:

- le azioni trasmesse in fondazione derivano dall'analisi del comportamento dell'intera struttura, condotta esaminando la sola struttura in elevazione alla quale sono applicate le azioni statiche e sismiche;
- il dimensionamento della struttura di fondazione e la verifica di sicurezza del complesso fondazione-terreno sono eseguite, nell'ipotesi di comportamento strutturale dissipativo, assumendo come azioni in fondazione quelle trasferite dagli elementi soprastanti amplificate di un coefficiente γ_{Rd} pari a 1,1 in CD"B" e 1,3 in CD"A". I risultati delle suddette verifiche sono riportate nei "Tabulati di calcolo".

PV ITALY 1 S.r.l	IMPIANTO AGRI-VOLTAICO DI POTENZA NOMINALE 25.633,68 KWP E RELATIVE OPERE DI CONNESSIONE ALLA RTN DA REALIZZARSI IN COMUNE DI ITTIRI (SS)	 Antex group Ingegneria & Innovazione	
	RELAZIONE DI CALCOLO-TABULATI- FONDAZIONE CABINA SOTTOCAMPO		

10 - TABULATI DI CALCOLO

- SPECIFICHE CAMPI TABELLA DI STAMPA**


Si riporta appresso la spiegazione delle sigle usate nella tabella coordinate nodi.

Nodo3d	: Numero del nodo spaziale
Coord.X	: Coordinata X del punto nel sistema di riferimento globale
Coord.Y	: Coordinata Y del punto nel sistema di riferimento globale
Coord.Z	: Coordinata Z del punto nel sistema di riferimento globale
Filo	: Numero del filo per individuare le travate in c.a.
Piano Sism.	: Numero del piano rigido di appartenenza del nodo
Peso	: Peso sismico del nodo; ogni canale di carico è stato moltiplicato per il proprio coefficiente di riduzione del sovraccarico

- SPECIFICHE CAMPI TABELLA DI STAMPA**

Si riporta appresso la spiegazione delle sigle usate nella tabella dati di shell spaziale.

Shell	: Numero dello shell spaziale
Filo 1	: Numero del filo del primo nodo
Filo 2	: Numero del filo del secondo nodo
Filo 3	: Numero del filo del terzo nodo
Filo 4	: Numero del filo del quarto nodo
Quota 1	: Quota del primo nodo
Quota 2	: Quota del secondo nodo
Quota 3	: Quota del terzo nodo
Quota 4	: Quota del quarto nodo
Nod3d 1	: Numero del primo nodo
Nod3d 2	: Numero del secondo nodo
Nod3d 3	: Numero del terzo nodo
Nod3d 4	: Numero del quarto nodo
Sez. N.ro	: Numero in archivio della sezione
Spess	: Spessore dello shell
Kwinkl	: Costante di Winkler del terreno se l'elemento è di fondazione; 0 se è di elevazione
Tipo Mat.	: Numero dell'archivio per il tipo di materiale
Mesh X	: Numero di suddivisioni del macro elemento sull'asse X locale
Mesh Y	: Numero di suddivisioni del macro elemento sull'asse Y locale

PV ITALY 1 S.r.l	IMPIANTO AGRI-VOLTAICO DI POTENZA NOMINALE 25.633,68 KWP E RELATIVE OPERE DI CONNESSIONE ALLA RTN DA REALIZZARSI IN COMUNE DI ITTIRI (SS)	 Antex group Ingegneria & Innovazione	16/01/2023	REV: 1	Pag.27
	RELAZIONE DI CALCOLO-TABULATI- FONDAZIONE CABINA SOTTOCAMPO				


DATI GENERALI DI STRUTTURA			
DATI GENERALI DI STRUTTURA			
Massima dimens. dir. X (m)	2,50	Altezza edificio (m)	3,00
Massima dimens. dir. Y (m)	6,00	Differenza temperatura(°C)	15
PARAMETRI SISMICI			
Vita Nominale (Anni)	50	Classe d' Uso	I Cu=0.7
ISOLE GRUPPO	PRIMO		
Categoria Suolo	B	Coeff. Condiz. Topogr.	1,00000
Sistema Costruttivo Dir.1	Acciaio	Sistema Costruttivo Dir.2	Acciaio
Regolarita' in Altezza	SI (KR=1)	Regolarita' in Pianta	NO
Direzione Sisma (Grd)	0	Sisma Verticale	ASSENTE
Effetti P/Delta	NO	Quota di Zero Sismico (m)	0,00000
Tipo Intervento	NUOVA COSTRUZIONE	Tipo Analisi Sismica	LINEARE
Livello Sicurezza Min. (%)	100		
PARAMETRI SPETTRO ELASTICO - SISMA S.L.D.			
Probabilita' Pvr	0,63	Periodo di Ritorno Anni	35,00
Accelerazione Ag/g	0,02	Periodo T'c (sec.)	0,28
Fo	2,63	Fv	0,50
Fattore Stratigrafia'Ss'	1,20	Periodo TB (sec.)	0,13
Periodo TC (sec.)	0,40	Periodo TD (sec.)	1,68
PARAMETRI SPETTRO ELASTICO - SISMA S.L.V.			
Probabilita' Pvr	0,10	Periodo di Ritorno Anni	332,00
Accelerazione Ag/g	0,05	Periodo T'c (sec.)	0,33
Fo	2,85	Fv	0,82
Fattore Stratigrafia'Ss'	1,20	Periodo TB (sec.)	0,15
Periodo TC (sec.)	0,46	Periodo TD (sec.)	1,78
PARAMETRI SISTEMA COSTRUTTIVO ACCIAIO - D I R. 1			
Classe Duttilita'	NON dissip.	Sotto-Sistema Strutturale	Intelaiat
AlfaU/Alfa1	1,30	Fattore di comportam 'q'	1,50
PARAMETRI SISTEMA COSTRUTTIVO ACCIAIO - D I R. 2			
Classe Duttilita'	NON dissip.	Sotto-Sistema Strutturale	Intelaiat
AlfaU/Alfa1	1,30	Fattore di comportam 'q'	1,50
COEFFICIENTI DI SICUREZZA PARZIALI DEI MATERIALI			
Acciaio per CLS armato	1,15	Calcestruzzo CLS armato	1,50
Legno per comb. eccez.	1,00	Legno per comb. fondam.:	1,30
Livello conoscenza	LC2		
FRP Collasso Tipo 'A'	1,10	FRP Delaminazione Tipo 'A'	1,20
FRP Collasso Tipo 'B'	1,25	FRP Delaminazione Tipo 'B'	1,50
FRP Resist. Press/Fless	1,00	FRP Resist. Taglio/Torsione	1,20
FRP Resist. Confinamento	1,10		

Il presente documento è di proprietà della ANTEX GROUP srl.
È vietato la comunicazione a terzi o la riproduzione senza il permesso scritto della suddetta.
La società tutela i propri diritti a rigore di Legge.

Comm.: C21-036-S05

ISO 9001
BUREAU VERITAS
Certification



PV ITALY 1 S.r.l	IMPIANTO AGRI-VOLTAICO DI POTENZA NOMINALE 25.633,68 KWP E RELATIVE OPERE DI CONNESSIONE ALLA RTN DA REALIZZARSI IN COMUNE DI ITTIRI (SS)	 Antex group Ingegneria & Innovazione	16/01/2023	REV: 1	Pag.28
	RELAZIONE DI CALCOLO-TABULATI- FONDAZIONE CABINA SOTTOCAMPO				

COORDINATE DEI NODI								
IDENT.	POSIZIONE NODO			ATTRIBUTI		PESO SISMICO		
Nodo3d N.ro	Coord.X (m)	Coord.Y (m)	Coord.Z (m)	Filo N.ro	Piano Sism.	Dir. X (t)	Dir. Y (t)	Dir. Z (t)
1	0,00	0,00	0,40	1	0	0,00	0,00	0,80
2	2,50	0,00	0,40	4	0	0,00	0,00	0,80
3	0,00	6,00	0,40	2	0	0,00	0,00	0,80
4	2,50	6,00	0,40	3	0	0,00	0,00	0,80
5	0,00	0,00	3,40	1	1	0,32	0,32	0,32
6	2,50	0,00	3,40	4	1	0,32	0,32	0,32
7	0,00	6,00	3,40	2	1	0,32	0,32	0,32
8	2,50	6,00	3,40	3	1	0,32	0,32	0,32


● **SPECIFICHE CAMPI TABELLA DI STAMPA**

Si riporta appresso la spiegazione delle sigle usate nel tabulato di stampa delle forze sismiche di piano.

- Piano** : Numero del piano sismico
- Gamma** : Coefficiente di distribuzione
- FX** : Forza di piano agente con direzione parallela alla direzione X del sistema di riferimento globale e applicata nell'origine delle coordinate
- FY** : Forza di piano agente con direzione parallela alla direzione Y del sistema di riferimento globale e applicata nell'origine delle coordinate
- Mt** : Momento torcente di piano rispetto all'asse Z del sistema di riferimento globale
- Mom.Ecc. 5%** : Momento torcente di piano rispetto all'asse Z del sistema di riferimento globale relativo ad una eccentricità accidentale pari al 5% della dimensione massima del piano in direzione ortogonale alla direzione del sisma. Se in questa colonna non e' stampato nulla l'effetto torsionale accidentale è tenuto in conto incrementando le sollecitazioni di verifica con il fattore delta (vedi punto 4.5.2)

¶ **SPECIFICHE CAMPI TABELLA DI STAMPA**

- Filo N.ro** : Numero del filo del nodo inferiore o superiore
- Quota inf/sup** : Quota del nodo inferiore e del nodo superiore
- Nodo inf/sup** : Numero dei nodi inferiore e superiore per la determinazione degli spostamenti sismici relativi
- Sisma N.ro** : Numero del sisma per cui è massimo il valore dello spostamento totale calcolato per lo S.L.D.
- Combin N.ro** : Numero della combinazione per cui è massimo il valore dello spostamento totale calcolato per lo S.L.D.
- Spostam. Calcolo** : valore dello spostamento totale calcolato per lo S.L.D.
- Spostam. Limite** : valore dello spostamento limite per lo S.L.D.
- Sisma N.ro** : Numero del sisma per cui è massimo il valore dello spostamento totale calcolato per lo S.L.O.
- Combin N.ro** : Numero della combinazione per cui è massimo il valore dello spostamento totale calcolato per lo S.L.O.
- Spostam. Calcolo** : valore dello spostamento totale calcolato per lo S.L.O.
- Spostam. Limite** : valore dello spostamento limite per lo S.L.O.

PV ITALY 1 S.r.l	IMPIANTO AGRI-VOLTAICO DI POTENZA NOMINALE 25.633,68 KWP E RELATIVE OPERE DI CONNESSIONE ALLA RTN DA REALIZZARSI IN COMUNE DI ITTIRI (SS)	 Antex group Ingegneria & Innovazione	
	RELAZIONE DI CALCOLO-TABULATI- FONDAZIONE CABINA SOTTOCAMPO	16/01/2023	REV: 1


• **SPECIFICHE CAMPI TABELLA DI STAMPA**

Si riporta di seguito la spiegazione delle sigle usate nella tabella di stampa della verifica degli elementi bidimensionali allo stato limite ultimo.

Quota N.ro:	: Quota a cui si trova l'elemento
Perim. N.ro	: Numero identificativo del macroelemento il cui perimetro è stato definito prima di eseguire la verifica
Nodo 3d N.ro	: Numero del nodo relativo alla suddivisione del macroelemento in microelementi
Nx	: Sforzo sul piano dell'elemento bidimensionale diretto come l'asse x del sistema locale (il sistema di riferimento locale è quello delle armature)
Ny	: Sforzo sul piano dell'elemento bidimensionale diretto come l'asse y del sistema locale
Txy	: Sforzo tagliante sul piano dell'elemento con direzione y e agente sulla faccia di normale x del sistema locale (ovvero anche, per la simmetria delle tensioni tangenziali, sforzo tagliante sul piano dell'elemento con direzione x e agente sulla faccia di normale y del sistema locale)
Mx	: Momento flettente agente sulla sezione di normale x del sistema locale. Per le verifiche è accoppiato allo sforzo normale Nx. Questo momento è incrementato per tenere in conto il valore del momento torcente Mxy
My	: Momento flettente agente sulla sezione di normale y del sistema locale. Per le verifiche è accoppiato allo sforzo normale Ny. Questo momento è incrementato per tenere in conto il valore del momento torcente Mxy
Mxy	: Momento torcente con asse vettore x e agente sulla sezione di normale x (ovvero anche, per la simmetria delle tensioni tangenziali momento torcente con asse vettore y e agente sulla sezione di normale y)
ϵ_{cx} *10000	: Deformazione del calcestruzzo nella faccia di normale x *10000 (Es. 0.35% = 35)
ϵ_{cy} *10000	: Deformazione del calcestruzzo nella faccia di normale y *10000 (Es. 0.35% = 35)
ϵ_{fx} *10000	: Deformazione dell'acciaio nella faccia di normale x *10000 (Es. 1% = 100)
ϵ_{fy} *10000	: Deformazione dell'acciaio nella faccia di normale y *10000 (Es. 1% = 100)
Ax superiore	: Area totale armatura superiore diretta lungo x. Area totale è l'area della presso-flessione più l'area per il taglio riportata dopo)
Ay superiore	: Area totale armatura superiore diretta lungo y
Ax inferiore	: Area totale armatura inferiore diretta lungo x
Ay inferiore	: Area totale armatura inferiore diretta lungo y
Atag	: Area per il taglio su ciascuna faccia per le due direzioni
σ_t	: Tensione massima di contatto con il terreno
Eta	: Abbassamento verticale del nodo in esame
Fpunz	: Forza di punzonamento determinata amplificando il massimo valore della forza punzonante (ottenuta dall'involuppo fra le varie combinazioni di carico agenti) per un coefficiente beta raccomandato nell'eurocodice 2 (figura 6.21). Per le piastre di fondazione la forza di punzonamento è stata ridotta dell'effetto favorevole della pressione del suolo
FpunzLi	: Resistenza al punzonamento ottenuta dall'applicazione della formula (6.47) dell'eurocodice 2, utilizzando il perimetro di base definito nelle figure 6.13 e 6.15
Apunz	: Armatura di punzonamento calcolata dalla formula (6.52) dell' eurocodice 2
VEd	: Azione di taglio-punzonamento secondo la formula (6.53) dell'eurocodice 2
VRd,max	: Resistenza di taglio-punzonamento secondo la formula (6.53) dell'eurocodice 2

Nel caso di stampa di rivedifiche degli elementi con le armature effettivamente disposte sul disegno ferri le colonne delle ϵ vengono sostituite con:


Molt.	: Moltiplicatore delle sollecitazioni che porta a rottura la sezione, rispettivamente nelle direzioni X e Y
x/d	: Posizione adimensionalizzata dell'asse neutro rispettivamente nelle direzioni X e Y

PV ITALY 1 S.r.l	IMPIANTO AGRI-VOLTAICO DI POTENZA NOMINALE 25.633,68 KWP E RELATIVE OPERE DI CONNESSIONE ALLA RTN DA REALIZZARSI IN COMUNE DI ITTIRI (SS)	 Antex group Ingegneria & Innovazione	
	RELAZIONE DI CALCOLO-TABULATI- FONDAZIONE CABINA SOTTOCAMPO		

• **SPECIFICHE CAMPI TABELLA DI STAMPA**

Si riporta di seguito la spiegazione delle sigle usate nella tabella di stampa delle verifiche agli stati limite di esercizio degli elementi bidimensionali.

Quota	: Quota a cui si trova l'elemento
Perim.	: Numero identificativo del macro-elemento il cui perimetro è stato definito prima di eseguire la verifica
Nodo	: Numero del nodo relativo alla suddivisione del macro-elemento in microelementi
Comb Cari	: Indicatore della matrice di combinazione; la prima riga individua la matrice delle combinazioni rare, la seconda la matrice delle combinazioni frequenti, la terza quella permanenti
Fes lim	: Fessura limite espressa in mm
Fess.	: Fessura di calcolo espressa in mm; se sull'elemento non si aprono fessure tutta la riga sarà nulla
Dist mm	: Distanza fra le fessure
Combin	: Numero della combinazione ed in sequenza sollecitazioni per cui si è avuta la massima fessura
Mf X	: Momento flettente agente sulla sezione di normale x del sistema locale. (Il sistema di riferimento locale è quello delle armature)
N X	: Sforzo sul piano dell'elemento bidimensionale diretto come l'asse x del sistema locale
Mf Y	: Momento flettente agente sulla sezione di normale y del sistema locale. (Il sistema di riferimento locale è quello delle armature)
N Y	: Sforzo sul piano dell'elemento bidimensionale diretto come l'asse y del sistema locale
Cos teta	: Coseno dell'angolo teta tra l'armatura in direzione X e la direzione della tensione principale di trazione
Sin teta	: Seno dell'angolo teta
Combina Carico	: Indicatore della matrice di combinazione; la prima riga individua la matrice delle combinazioni rare per la verifica della tensione sul cls, la seconda la matrice delle combinazioni rare per la verifica della tensione sull'acciaio, la terza la matrice delle combinazioni permanenti per la verifica della tensione sul cls
s lim	: Valore della tensione limite in Kg/cm ²
s cal	: Valore della tensione di calcolo in Kg/cm ² sulla faccia di normale x
Combin	: Numero della combinazione ed in sequenza sollecitazioni per cui si è avuta la massima tensione
Mf X	: Momento flettente agente sulla sezione di normale x del sistema locale. (Il sistema di riferimento locale è quello delle armature)
N X	: Sforzo sul piano dell'elemento bidimensionale diretto come l'asse x del sistema locale
s cal	: Valore della tensione di calcolo in Kg/cm ² sulla faccia di normale y
Combin	: Numero della combinazione ed in sequenza sollecitazioni per cui si è avuta la massima tensione
Mf Y	: Momento flettente agente sulla sezione di normale y del sistema locale
N Y	: Sforzo sul piano dell'elemento bidimensionale diretto come l'asse y del sistema locale

PV ITALY 1 S.r.l	IMPIANTO AGRI-VOLTAICO DI POTENZA NOMINALE 25.633,68 KWP E RELATIVE OPERE DI CONNESSIONE ALLA RTN DA REALIZZARSI IN COMUNE DI ITTIRI (SS)	 Antex group Ingegneria & Innovazione	
	RELAZIONE DI CALCOLO-TABULATI- FONDAZIONE CABINA SOTTOCAMPO	16/01/2023	REV: 1

• **SPECIFICHE CAMPI TABELLA DI STAMPA**

Si riporta di seguito la spiegazione delle sigle usate nella tabella di stampa della verifica degli elementi bidimensionali allo stato limite ultimo.

Gruppo Quote	: Numero identificativo del gruppo di quote definito prima di eseguire la verifica
Generatrice	: Numero identificativo della generatrice definita prima di eseguire la verifica
Nodo 3d N.ro	: Numero del nodo relativo alla suddivisione del macroelemento in microelementi
Nx	: Sforzo sul piano dell'elemento bidimensionale diretto come l'asse x del sistema locale. (Il sistema di riferimento locale ha l'asse x nella direzione del setto e l'asse y verticale)
Ny	: Sforzo sul piano dell'elemento bidimensionale diretto come l'asse y del sistema locale
Txy	: Sforzo tagliante sul piano dell'elemento con direzione y e agente sulla faccia di normale x del sistema locale. (Ovvero anche, per la simmetria delle tensioni tangenziali, sforzo tagliante sul piano dell'elemento con direzione x e agente sulla faccia di normale y del sistema locale)
Mx	: Momento flettente agente sulla sezione di normale x del sistema locale. Per le verifiche è accoppiato allo sforzo normale Nx. Questo momento è incrementato per tenere in conto il valore del momento torcente Mxy
My	: Momento flettente agente sulla sezione di normale y del sistema locale. Per le verifiche è accoppiato allo sforzo normale Ny. Questo momento è incrementato per tenere in conto il valore del momento torcente Mxy
Mxy	: Momento torcente con asse vettore x e agente sulla sezione di normale x (ovvero anche, per la simmetria delle tensioni tangenziali, momento torcente con asse vettore y e agente sulla sezione di normale y)
$\epsilon_{cx}^* 10000$: Deformazione del calcestruzzo nella faccia di normale x $\times 10000$ (Es. 0.35% = 35)
$\epsilon_{cy}^* 10000$: Deformazione del calcestruzzo nella faccia di normale y $\times 10000$ (Es. 0.35% = 35)
$\epsilon_{fx}^* 10000$: Deformazione dell'acciaio nella faccia di normale x $\times 10000$ (Es. 1% = 100)
$\epsilon_{fy}^* 10000$: Deformazione dell'acciaio nella faccia di normale y $\times 10000$ (Es. 1% = 100)
Ax superiore	: Area totale armatura superiore diretta lungo x. (Area totale è l'area della presso-flessione più l'area per il taglio riportata dopo)
Ay superiore	: Area totale armatura superiore diretta lungo y
Ax inferiore	: Area totale armatura inferiore diretta lungo x
Ay inferiore	: Area totale armatura inferiore diretta lungo y
Atag	: Area per il taglio su ciascuna faccia per le due direzioni
σ_t	: Tensione massima di contatto con il terreno
Eta	: Abbassamento verticale del nodo in esame

Nel caso di stampa di riverifiche degli elementi con le armature effettivamente disposte sul disegno ferri le colonne delle ϵ vengono sostituite con:

Molt. : Moltiplicatore delle sollecitazioni che porta a rottura la sezione, rispettivamente nelle direzioni X e Y

● **SPECIFICHE CAMPI TABELLA DI STAMPA**

Si riporta di seguito la spiegazione delle sigle usate nella tabella di stampa delle verifiche agli stati limite di esercizio degli elementi bidimensionali.

- Gr.Q** : Numero identificativo del gruppo di quote definito prima di eseguire la verifica
- Gen** : Numero identificativo della generatrice definita prima di eseguire la verifica
- Nodo** : Numero del nodo relativo alla suddivisione del macro-elemento in microelementi
- Comb. Cari** : Indicatore della matrice di combinazione; la prima riga individua la matrice delle combinazioni rare, la seconda la matrice delle combinazioni frequenti, la terza quella permanenti
- Fes lim** : Fessura limite espressa in mm
- Fess.** : Fessura di calcolo espressa in mm; se sull'elemento non si aprono fessure tutta la riga sarà nulla
- Dist mm** : Distanza fra le fessure
- Combin** : Numero della combinazione ed in sequenza sollecitazioni per cui si è avuta la massima fessura
- Mf X** : Momento flettente agente sulla sezione di normale x del sistema locale. (Il sistema di riferimento locale è quello delle armature)
- N X** : Sforzo sul piano dell'elemento bidimensionale diretto come l'asse x del sistema locale
- Mf Y** : Momento flettente agente sulla sezione di normale y del sistema locale. (Il sistema di riferimento locale è quello delle armature)
- N Y** : Sforzo sul piano dell'elemento bidimensionale diretto come l'asse y del sistema locale
- Cos teta** : Coseno dell'angolo teta tra l'armatura in direzione X e la direzione della tensione principale di trazione
- Sin teta** : Seno dell'angolo teta
- Combina** : Indicatore della matrice di combinazione; la prima riga individua la matrice delle combinazioni rare per la verifica della tensione sul cls, la seconda la matrice delle combinazioni rare per la verifica della tensione sull'acciaio, la terza la matrice delle combinazioni permanenti per la verifica della tensione sul cls
- Carico**
- s lim** : Valore della tensione limite in Kg/cm²
- s cal** : Valore della tensione di calcolo in Kg/cm² sulla faccia di normale x
- Combin** : Numero della combinazione ed in sequenza sollecitazioni per cui si è avuta la massima tensione
- Mf X** : Momento flettente agente sulla sezione di normale x del sistema locale. (Il sistema di riferimento locale è quello delle armature)
- N X** : Sforzo sul piano dell'elemento bidimensionale diretto come l'asse x del sistema locale
- s cal** : Valore della tensione di calcolo in Kg/cm² sulla faccia di normale y
- Combin** : Numero della combinazione ed in sequenza sollecitazioni per cui si è avuta la massima tensione
- Mf Y** : Momento flettente agente sulla sezione di normale y del sistema locale
- N Y** : Sforzo sul piano dell'elemento bidimensionale diretto come l'asse y del sistema locale

S.L.U. - AZIONI S.L.V. - VERIFICA PIASTRE - QUOTA: 0 ELEMENTO: 1																						
Quo	P.	Nod3d	Nx	Ny	Txy	Mx	My	Mxy	εc x	εc y	εf x	εf y	Ax s	Ay s	Ax i	Ay i	Atag	σt	εta	Fpunz.	FpnzLi	Apunz
N.r	Nr	N.ro	Kg/m	Kg/m	Kg/m	kgm/m	kgm/m	kgm/m	*10000	*10000	*10000	*10000	cmg/m	cmg/m	cmg/m	cmg/m	cmg/m	kg/cm ²	mm	kg	kg	cm ²
0	1	1	0	0	0	-372	-268	267	0	0	6	4	4,0	4,0	4,0	4,0	0,0	0,4	-0,9			
0	1	14	0	0	0	-758	-305	0	1	0	12	5	4,0	4,0	4,0	4,0	0,0	0,4	-0,7			
0	1	16	0	0	0	-683	-275	-155	1	0	10	4	4,0	4,0	4,0	4,0	0,0	0,4	-0,8			
0	1	17	0	0	0	-556	-253	0	1	0	9	4	4,0	4,0	4,0	4,0	0,0	0,4	-0,7			
0	1	18	0	0	0	-686	-276	156	1	0	11	4	4,0	4,0	4,0	4,0	0,0	0,4	-0,8			
0	1	19	0	0	0	-135	-157	0	0	0	2	2	4,0	4,0	4,0	4,0	0,0	0,4	-0,8			

S.L.U. - AZIONI S.L.V. - VERIFICA SHELL C.A. - QUOTA: 1 ELEMENTO: 1																						
Gr.Q	Gen	Nodo 3d	Nx	Ny	Txy	Mx	My	Mxy	εc x	εc y	εf x	εf y	Ax s	Ay s	Ax i	Ay i	Atag	σt	εta	Fpunz.	FpnzLi	Apunz
N.ro	Nr	N.ro	Kg/m	Kg/m	Kg/m	kgm/m	kgm/m	kgm/m	*10000	*10000	*10000	*10000	cmg/m	cmg/m	cmg/m	cmg/m	cmg/m	kg/cm ²	mm	kg	kg	cm ²
1	1	1	-207	-776	661	44	113	-26	0	0	1	2	2,0	2,0	2,0	2,0	0,1	0,43	-0,9			
1	1	37	-259	-1170	467	83	203	53	0	1	2	3	2,0	2,0	2,0	2,0	0,1		-0,8			
1	1	48	7	-2093	189	42	55	0	0	0	1	0	2,0	2,0	2,0	2,0	0,0		-0,8			
1	1	49	-131	-2766	186	24	45	0	0	0	0	0	2,0	2,0	2,0	2,0	0,0		-0,8			
1	1	50	9	-967	641	61	71	17	0	0	2	0	2,0	2,0	2,0	2,0	0,1		-0,8			
1	1	51	22	-1698	585	38	37	-4	0	0	1	0	2,0	2,0	2,0	2,0	0,1		-0,8			
1	1	52	-181	-2181	578	55	52	-18	0	0	1	0	2,0	2,0	2,0	2,0	0,1		-0,8			
1	1	53	189	-145	971	-69	-18	9	0	0	3	0	2,0	2,0	2,0	2,0	0,1		-0,9			
1	1	54	189	-680	844	-61	-12	-3	0	0	3	0	2,0	2,0	2,0	2,0	0,1		-0,9			

Il presente documento è di proprietà della ANTEX GROUP srl.
È vietato la comunicazione a terzi o la riproduzione senza il permesso scritto della suddetta.
La società tutela i propri diritti a rigore di Legge.

Comm.: C21-036-S05



S.L.U. - AZIONI S.L.V. - VERIFICA SHELL C.A. - QUOTA: 1 ELEMENTO: 1

Gr.Q N.ro	Gen N.r	Nodo 3d N.ro	Nx Kg/m	Ny Kg/m	Txy Kg/m	Mx kgm/m	My kgm/m	Mxy kgm/m	εc x *10000	εc y	εf x *10000	εf y	Ax s.	Ay s.	Ax i.	Ay i.	Atag.	σt kg/cmq	eta mm
1	1	55	-25	-592	556	-62	-36	-11	0	0	2	0	2,0	2,0	2,0	2,0	0,1		-0,9

S.L.U. - AZIONI S.L.V. - VERIFICA SHELL C.A. - QUOTA: 1 ELEMENTO: 2

Gr.Q N.ro	Gen N.r	Nodo 3d N.ro	Nx Kg/m	Ny Kg/m	Txy Kg/m	Mx kgm/m	My kgm/m	Mxy kgm/m	εc x *10000	εc y	εf x *10000	εf y	Ax s.	Ay s.	Ax i.	Ay i.	Atag.	σt kg/cmq	eta mm
1	2	1	403	-2183	1136	-8	0	-3	1	0	1	0	2,0	2,0	2,0	2,0	0,1	0,43	-0,9
1	2	2	410	-2186	1149	-8	0	6	1	0	1	0	2,0	2,0	2,0	2,0	0,1	0,43	-0,9
1	2	62	56	-2550	478	-30	17	0	0	0	1	0	2,0	2,0	2,0	2,0	0,1		-0,8
1	2	63	267	-808	718	-10	-6	-6	0	0	1	0	2,0	2,0	2,0	2,0	0,1		-0,8
1	2	64	252	-1064	543	10	17	-2	0	0	1	0	2,0	2,0	2,0	2,0	0,1		-0,8
1	2	65	301	-639	466	18	0	10	0	0	1	0	2,0	2,0	2,0	2,0	0,1		-0,8
1	2	66	177	-114	223	31	62	-30	0	0	2	2	2,0	2,0	2,0	2,0	0,0		-0,8
1	2	67	295	-185	599	85	-18	-16	0	0	4	0	2,0	2,0	2,0	2,0	0,1		-0,9
1	2	68	278	-660	516	59	0	0	0	0	3	0	2,0	2,0	2,0	2,0	0,1		-0,9
1	2	69	1	-1447	554	55	0	12	0	0	2	0	2,0	2,0	2,0	2,0	0,1		-0,9

S.L.U. - AZIONI S.L.V. - VERIFICA SHELL C.A. - QUOTA: 1 ELEMENTO: 3

Gr.Q N.ro	Gen N.r	Nodo 3d N.ro	Nx Kg/m	Ny Kg/m	Txy Kg/m	Mx kgm/m	My kgm/m	Mxy kgm/m	εc x *10000	εc y	εf x *10000	εf y	Ax s.	Ay s.	Ax i.	Ay i.	Atag.	σt kg/cmq	eta mm
1	3	2	-208	-781	657	-42	-110	25	0	0	1	1	2,0	2,0	2,0	2,0	0,1	0,43	-0,9
1	3	33	-258	-1162	465	-87	-209	-56	0	1	2	3	2,0	2,0	2,0	2,0	0,1		-0,8
1	3	74	185	-692	841	59	11	-3	0	0	2	0	2,0	2,0	2,0	2,0	0,1		-0,9
1	3	75	20	-1946	586	-39	0	-5	0	0	1	0	2,0	2,0	2,0	2,0	0,1		-0,8
1	3	76	4	-2456	189	-43	0	0	0	0	1	0	2,0	2,0	2,0	2,0	0,0		-0,8
1	3	77	20	-1947	585	-39	0	5	0	0	1	0	2,0	2,0	2,0	2,0	0,1		-0,8
1	3	78	-24	-599	553	61	36	-11	0	0	2	0	2,0	2,0	2,0	2,0	0,1		-0,9
1	3	79	-181	-2465	579	-56	0	-26	0	0	1	0	2,0	2,0	2,0	2,0	0,1		-0,8
1	3	80	-132	-3222	186	-24	0	0	0	0	0	0	2,0	2,0	2,0	2,0	0,0		-0,8
1	3	81	-182	-2466	578	-56	0	26	0	0	1	0	2,0	2,0	2,0	2,0	0,1		-0,8


S.L.U. - AZIONI S.L.V. - VERIFICA SHELL C.A. - QUOTA: 1 ELEMENTO: 4

Gr.Q N.ro	Gen N.r	Nodo 3d N.ro	Nx Kg/m	Ny Kg/m	Txy Kg/m	Mx kgm/m	My kgm/m	Mxy kgm/m	εc x *10000	εc y	εf x *10000	εf y	Ax s.	Ay s.	Ax i.	Ay i.	Atag.	σt kg/cmq	eta mm
1	4	3	404	-2165	1135	9	20	2	1	0	1	0	2,0	2,0	2,0	2,0	0,1	0,43	-0,9
1	4	4	411	-2168	1148	9	19	-5	1	0	1	0	2,0	2,0	2,0	2,0	0,1	0,43	-0,9
1	4	85	259	-1062	549	-10	0	-2	0	0	1	0	2,0	2,0	2,0	2,0	0,1		-0,8
1	4	86	272	-1250	460	11	0	0	0	0	1	0	2,0	2,0	2,0	2,0	0,1		-0,8
1	4	87	252	-1064	543	-10	0	2	0	0	1	0	2,0	2,0	2,0	2,0	0,1		-0,8
1	4	88	305	-553	480	-19	18	8	0	0	2	0	2,0	2,0	2,0	2,0	0,1		-0,8
1	4	89	57	-2552	478	30	0	0	0	0	1	0	2,0	2,0	2,0	2,0	0,1		-0,8
1	4	90	301	-554	465	-19	18	-8	0	0	2	0	2,0	2,0	2,0	2,0	0,1		-0,8
1	4	91	178	-113	225	-32	-57	-30	0	0	2	2	2,0	2,0	2,0	2,0	0,0		-0,8
1	4	92	177	-115	222	-32	-57	30	0	0	2	2	2,0	2,0	2,0	2,0	0,0		-0,8

Il presente documento è di proprietà della ANTEX GROUP srl.
È vietato la comunicazione a terzi o la riproduzione senza il permesso scritto della suddetta.
La società tutela i propri diritti a rigore di Legge.

Comm.: C21-036-S05



PV ITALY 1 S.r.l	IMPIANTO AGRI-VOLTAICO DI POTENZA NOMINALE 25.633,68 KWP E RELATIVE OPERE DI CONNESSIONE ALLA RTN DA REALIZZARSI IN COMUNE DI ITTIRI (SS)	 Ingegneria & Innovazione	
	RELAZIONE DI CALCOLO-TABULATI- FONDAZIONE CABINA SOTTOCAMPO	16/01/2023	REV: 1

11 – RELAZIONE GEOTECNICA

Sono illustrati con la presente i risultati dei calcoli che riguardano il progetto delle armature, la verifica delle tensioni di lavoro dei materiali e del terreno.

• **NORMATIVA DI RIFERIMENTO**

I calcoli sono condotti nel pieno rispetto della normativa vigente e, in particolare, la normativa cui viene fatto riferimento nelle fasi di calcolo, verifica e progettazione è costituita dalle *Norme Tecniche per le Costruzioni*, emanate con il D.M. 17/01/2018 pubblicato nel suppl. 8 G.U. 42 del 20/02/2018, nonché la Circolare del Ministero Infrastrutture e Trasporti del 21 Gennaio 2019, n. 7 “*Istruzioni per l’applicazione delle nuove norme tecniche per le costruzioni*”.

Per il calcolo delle strutture in oggetto si adotteranno i criteri della Geotecnica e della Scienza delle Costruzioni.

• **CAPACITÀ PORTANTE DI FONDAZIONI SUPERFICIALI**

La verifica della capacità portante consiste nel confronto tra la pressione verticale di esercizio in fondazione e la pressione limite per il terreno, valutata secondo *Brinch-Hansen*:

$$q_{lim} = q N_q Y_q i_q d_q b_q g_q s_q + c N_c Y_c i_c d_c b_c g_c s_c + \frac{1}{2} G B' N_g Y_g i_g b_g s_g$$

dove

Caratteristiche geometriche della fondazione:

q = carico sul piano di fondazione
 B = lato minore della fondazione
 L = lato maggiore della fondazione
 D = profondità della fondazione
 α = inclinazione base della fondazione
 G = peso specifico del terreno
 B' = larghezza di fondazione ridotta = $B - 2 e_B$
 L' = lunghezza di fondazione ridotta = $L - 2 e_L$

Caratteristiche di carico sulla fondazione:

H = risultante delle forze orizzontali
 N = risultante delle forze verticali
 e_B = eccentricità del carico verticale lungo B
 e_L = eccentricità del carico verticale lungo L
 F_{hB} = forza orizzontale lungo B
 F_{hL} = forza orizzontale lungo L

Caratteristiche del terreno di fondazione:

β = inclinazione terreno a valle
 $c = c_u$ = coesione non drenata (condizioni U)
 $c = c'$ = coesione drenata (condizioni D)
 Γ = peso specifico apparente (condizioni U)
 $\Gamma = \Gamma'$ = peso specifico sommerso (condizioni D)

$\phi = 0 =$ angolo di attrito interno (condizioni U)

$\phi = \phi' =$ angolo di attrito interno (condizioni D)

Fattori di capacità portante:

$$Nq = \tan^2\left(\frac{\pi}{4} + \frac{\phi}{2}\right) \exp(\pi \cdot \tan \phi) \quad (\text{Prandtl-Cauchot-Meyerhof})$$

$$Ng = 2(Nq + 1) \tan \phi \quad (\text{Vesic})$$

$$Nc = \frac{Nq - 1}{\tan \phi} \quad \text{in condizioni D} \quad (\text{Reissner-Meyerhof})$$

$$Nc = 5,14 \quad \text{in condizioni U}$$

Indici di rigidezza (condizioni D):

$$Ir = \frac{G}{c' + q' \tan \phi} = \text{indice di rigidezza}$$

$$q' = \text{pressione litostatica efficace alla profondità } D + \frac{B}{2}$$

$$G = \frac{E}{2(1 + \mu)} = \text{modulo elastico tangenziale}$$

$E =$ modulo elastico normale

$\mu =$ coefficiente di Poisson

$$Icr = \frac{1}{2} \exp\left[\frac{3,3 - 0,45 \frac{B}{L}}{\tan(45 - \frac{\phi'}{2})}\right] = \text{indice di rigidezza critico}$$

Coefficienti di punzonamento (Vesic):

$$Yq = Yg = \exp\left[\left(0,6 \frac{B}{L} - 4,4\right) \tan \phi' + \frac{3,07 \sin \phi' \log(2Ir)}{1 + \sin \phi'}\right] \text{ in condizioni drenate, per } Ir \leq Icr$$

$$Yc = Yq - \frac{1 - Yq}{Nq \times \tan \phi'}$$

Coefficienti di inclinazione del carico (Vesic):

$$ig = \left(\frac{1 - H}{N + B \times L \times c' \times \cot \text{ang} \phi'}\right)^{m+1}$$


$$iq = \left(\frac{1 - H}{N + B \times L \times c' \times \cot \phi'}\right)^m$$

$$ic = iq - \frac{1 - iq}{Nc \times \tan \phi'} \quad \text{in condizioni D}$$

$$ic = 1 - \frac{m \times H}{B \times L \times cu \times Nc} \quad \text{in condizioni U}$$

essendo:

$$m = mB \cos^2 \Theta + mL \sin^2 \Theta$$

PV ITALY 1 S.r.l	IMPIANTO AGRI-VOLTAICO DI POTENZA NOMINALE 25.633,68 KWP E RELATIVE OPERE DI CONNESSIONE ALLA RTN DA REALIZZARSI IN COMUNE DI ITTIRI (SS)	 Ingegneria & Innovazione	
	RELAZIONE DI CALCOLO-TABULATI- FONDAZIONE CABINA SOTTOCAMPO	16/01/2023	REV: 1
		Pag.36	

$$mB = \frac{2 + \frac{B'}{L'}}{1 + \frac{B'}{L'}} \quad mL = \frac{2 + \frac{L'}{B'}}{1 + \frac{L'}{B'}} \quad \Theta = \tan^{-1} \frac{Fh \times B}{Fh \times L}$$

Coefficienti di affondamento del piano di posa (Brinch-Hansen):

$$dq = 1 + 2 \tan \phi (1 - \sin \phi)^2 \operatorname{arctg} \frac{D}{B'} \quad \text{per } D > B'$$

$$dq = 1 + 2 \frac{D}{B'} \tan \phi (1 - \sin \phi)^2 \quad \text{per } D \leq B'$$

$$dc = dq - \frac{1 - dq}{Nc \times \tan \phi} \quad \text{in condizioni D}$$

$$dc = 1 + 0,4 \operatorname{arctan} \frac{D}{B'} \quad \text{per } D > B' \text{ in condizioni U}$$

$$dc = 1 + 0,4 \frac{D}{B'} \quad \text{per } D \leq B' \text{ in condizioni U}$$

Coefficienti di inclinazione del piano di posa:

$$bg = \exp(-2,7\alpha \tan \phi)$$

$$bc = bq = \exp(-2\alpha \tan \phi) \quad \text{in condizioni D}$$

$$bc = 1 - \frac{\alpha}{147} \quad \text{in condizioni U}$$

$$bq = 1 \quad \text{in condizioni U)}$$

Coefficienti di inclinazione del terreno di fondazione:

$$gc = gq = \sqrt{1 - 0,5 \tan \beta} \quad \text{in condizioni D}$$

$$gc = 1 - \frac{\beta}{147} \quad \text{in condizioni U}$$

$$gq = 1 \quad \text{in condizioni U}$$


Coefficienti di forma (De Beer):

$$sg = 1 - 0,4 \frac{B'}{L'}$$

$$sq = 1 + \frac{B'}{L'} \tan \phi$$

$$sc = 1 + \frac{B' Nq}{L' Nc}$$

L'azione del sisma si traduce in accelerazioni nel sottosuolo (effetto cinematico) e nella fondazione, per l'azione delle forze d'inerzia generate nella struttura in elevazione (effetto inerziale). Tali effetti possono essere portati in conto mediante l'introduzione di coefficienti sismici rispettivamente denominati Khi e Igk, il primo definito dal rapporto tra le componenti orizzontale e verticale dei carichi trasmessi in fondazione ed il secondo funzione dell'accelerazione massima attesa al sito. L'effetto inerziale produce variazioni di tutti i coefficienti di capacità portante del carico limite in funzione

PV ITALY 1 S.r.l	IMPIANTO AGRI-VOLTAICO DI POTENZA NOMINALE 25.633,68 KWP E RELATIVE OPERE DI CONNESSIONE ALLA RTN DA REALIZZARSI IN COMUNE DI ITTIRI (SS)	 Antex group Ingegneria & Innovazione	
	RELAZIONE DI CALCOLO-TABULATI- FONDAZIONE CABINA SOTTOCAMPO	16/01/2023	REV: 1

del coefficiente sismico K_{hi} e viene portato in conto impiegando le formule comunemente adottate per calcolare i coefficienti correttivi del carico limite in funzione dell'inclinazione, rispetto alla verticale, del carico agente sul piano di posa. Nel caso in cui sia stato attivato il flag per tener conto degli effetti cinematici il valore I_{gk} modifica invece il solo coefficiente N_g ; il fattore N_g viene infatti moltiplicato sia per il coefficiente correttivo dell'effetto inerziale, sia per il coefficiente correttivo per l'effetto cinematico.

● CAPACITÀ PORTANTE DELLE PLATEE

La verifica agli S.L.U. delle platee di fondazione risulta particolarmente difficoltosa poiché tali fondazioni spesso hanno forme non rettangolari e pertanto non è possibile valutarne la capacità portante attraverso le classiche formule della geotecnica.

Per potere valutare la portanza delle platee si è quindi implementato un tipo di verifica in cui la fondazione viene modellata per intero (potendo essere costituita, nella forma più generale, da travi rovesce, plinti, pali e platee).

In particolare, gli elementi strutturali vengono modellati in campo elastico lineare, mentre il terreno viene modellato come un letto di molle:

- a) lineari elastiche e non reagenti a trazione per le platee;
- b) molle non lineari elasto-plastiche non reagenti a trazione per le travi *Winkler* ed i plinti diretti.

Per le molle elastiche delle platee viene calcolato anche il limite elastico, al fine di bloccare il calcolo del moltiplicatore dei carichi qualora venga raggiunto tale limite.

Il legame di tipo elastico reagente a sola compressione è ottenuto utilizzando come rigidità all'origine la costante di *Winkler* del terreno. Il modello così ottenuto è in grado di tenere in conto dell'eterogeneità del terreno in maniera puntuale. Su tale modello viene quindi condotta un'analisi non lineare a controllo di forza immettendo le forze agenti sulla fondazione. Il calcolo viene interrotto quando le molle delle platee attingono al loro limite elastico o qualora venga raggiunto uno stato di incipiente formazione di cerniere plastiche nelle travi *Winkler*. In corrispondenza a tali eventi viene calcolato il moltiplicatore dei carichi.

● CALCOLO DEI CEDIMENTI

Il calcolo viene eseguito sulla base della conoscenza delle tensioni nel sottosuolo.

$$\mu = \int \frac{\sigma(z)}{E} dz$$

essendo

E = modulo elastico o edometrico

$\sigma(z)$ = tensione verticale nel sottosuolo dovuta all'incremento di carico q

La distribuzione delle tensioni verticali viene valutata secondo l'espressione di *Steinbrenner*, considerando la pressione agente uniformemente su una superficie rettangolare di dimensioni B e L :

$$\sigma(z) = \frac{q}{4\pi} \left[\frac{2 \times M \times N \times \sqrt{V} \times (V+1)}{V(V+V1)} + \left| \arctan \frac{2 \times M \times N \times \sqrt{V}}{V-V1} \right| \right]$$


con:

$$M = B / z$$

$$N = L / z$$

$$V = M^2 + N^2 + 1$$

$$V1 = (M \times N)^2$$

PV ITALY 1 S.r.l	IMPIANTO AGRI-VOLTAICO DI POTENZA NOMINALE 25.633,68 KWP E RELATIVE OPERE DI CONNESSIONE ALLA RTN DA REALIZZARSI IN COMUNE DI ITTIRI (SS)	 Antex group Ingegneria & Innovazione	
	RELAZIONE DI CALCOLO-TABULATI- FONDAZIONE CABINA SOTTOCAMPO		

• **SPECIFICHE CAMPI TABELLA DI STAMPA**

Si riporta di seguito la spiegazione delle sigle usate nella tabella di stampa della portanza delle fondazioni superficiali (travi *Winkler*, plinti e piastre) in condizioni drenate e non drenate.

Tabella 1: PARAMETRI GEOTECNICI


Trave, Plinto o Piastra	: Numero elemento
Infiss	: Infissione base fondazione dalla quota di terreno definitivo ($Z_{fond} + Ricoprimento$)
Tipo Tabella	: Tipo di tabella (M1/M2) per i coeff. parziali per i parametri del terreno
Gamma	: Peso specifico totale di calcolo
Fi	: Angolo di attrito interno di calcolo in gradi
Coes	: Coesione drenata di calcolo
Mod.El.	: Modulo elastico di calcolo
Poiss	: Coefficiente di Poisson
P base	: Pressione litostatica base di fondazione in condizioni drenate
Indice Rigid.	: Indice di rigidezza
IndRig Crit.	: Indice di rigidezza critico
Cu	: Coesione non drenata
Pbase	: Pressione litostatica base di fondazione in cond. non drenate

Tabella 2: COEFFICIENTI DI PORTANZA

Trave, Plinto o Piastra	: Numero elemento
Nc	: Coefficiente di portanza di Brinch-Hansen
Nq	: Coefficiente di portanza di Brinch-Hansen
Ng	: Coefficiente di portanza di Brinch-Hansen
Gc	: Coefficiente di inclinazione del terreno
Gq	: Coefficiente di inclinazione del terreno
bc	: Coefficiente di inclinazione del piano di posa
bq	: Coefficiente di inclinazione del piano di posa
Igk	: Coefficiente per effetti cinematici
Comb.Nro	: Numero della combinazione di carico
Icv	: Coefficiente di inclinazione del carico
Iqv	: Coefficiente di inclinazione del carico
Igv	: Coefficiente di inclinazione del carico
Dc	: Coefficiente di affondamento del piano di posa
Dq	: Coefficiente di affondamento del piano di posa
Dg	: Coefficiente di affondamento del piano di posa
Sc	: Coefficiente di forma
Sq	: Coefficiente di forma
Sg	: Coefficiente di forma
Psic	: Coefficiente di punzonamento
Psiq	: Coefficiente di punzonamento
Psig	: Coefficiente di punzonamento

Tabella 3: PORTANZA (per Risultanti)

Trave, Plinto o Piastra	: Numero elemento in numerazione calcolo C.D.Gs. Win
Asta3d, Filo	: Identificativo di input
Comb.	: Numero della combinazione a cui si riferiscono i dati che seguono
Bx'	: Base di fondazione ridotta lungo x per eccentricità

PV ITALY 1 S.r.l	IMPIANTO AGRI-VOLTAICO DI POTENZA NOMINALE 25.633,68 KWP E RELATIVE OPERE DI CONNESSIONE ALLA RTN DA REALIZZARSI IN COMUNE DI ITTIRI (SS)	 Antex <small>group</small> Ingegneria & Innovazione	
	RELAZIONE DI CALCOLO-TABULATI- FONDAZIONE CABINA SOTTOCAMPO	16/01/2023	REV: 1

By'	: Base di fondazione ridotta lungo y per eccentricità
GamEf	: Peso specifico efficace di calcolo
QlimV	: Carico limite in condiz. drenate o non drenate comprensivo dei Coeff. Parziali R1/R2/R3
N	: Carico verticale agente
Coeff.Sicur.	: Minimo tra i rapporti (QlimV/N) tra la condiz. drenata e quella non drenata per la combinazione in esame

Tra tutte le combinazioni vengono riportati i seguenti dati:

Minimo CoeSic	: Minimo coefficiente di sicurezza
N/Ar	: Tensione media agente sull' impronta ridotta
Qlim/Ar	: Tensione limite sull' impronta ridotta
Status Verifica	: Si possono avere i seguenti messaggi:

OK = Verifica soddisfatta

NONVERIF = Non verifica nei seguenti casi:

- Coefficiente di sicurezza minore di 1
- Se $Bx=0$ o $By=0$ per eccentricità eccessiva dei carichi
- Se $QlimV=0$ per inclinazione dei carichi eccessiva a causa di forze orizzontali elevate

SCARICA = Verifica soddisfatta: Impronta non sollecitata o in trazione

DECOMPR = Verifica soddisfatta:


- lo sforzo agente sull'elemento è di trazione, ma la risultante dei carichi agenti sul terreno è di debole compressione per effetto del peso proprio dell'elemento stesso.

Tabella 3: PORTANZA (per Tensioni)

Trave, Plinto o Piastra	: Numero elemento in numerazione calcolo C.D.Gs. Win
Asta3d, Filo	: Identificativo di input
Comb.	: Numero della combinazione a cui si riferiscono i dati che seguono
Bx'	: Base di fondazione ridotta lungo x per eccentricità
By'	: Base di fondazione ridotta lungo y per eccentricità
GamEf	: Peso specifico efficace di calcolo
SgmLimV	: Tensione limite in condiz. drenate o non drenate
SgmTerr	: Tensione elastica massima sul terreno
Coeff.Sicur.	: Minimo tra i rapporti (SgmLimV/SgmTerr) tra la condiz. drenata e quella non drenata per la combinazione in esame

Tra tutte le combinazioni vengono riportati i seguenti dati:

Minimo CoeSic	: Minimo coefficiente di sicurezza
N/Ar	: Tensione media agente sull' impronta ridotta
Qlim/Ar	: Tensione limite media sull' impronta ridotta (SgmLimV minima)
Status Verifica	: Si possono avere i seguenti messaggi:

PV ITALY 1 S.r.l	IMPIANTO AGRI-VOLTAICO DI POTENZA NOMINALE 25.633,68 KWP E RELATIVE OPERE DI CONNESSIONE ALLA RTN DA REALIZZARSI IN COMUNE DI ITTIRI (SS)	 Antex group Ingegneria & Innovazione	
	RELAZIONE DI CALCOLO-TABULATI- FONDAZIONE CABINA SOTTOCAMPO	16/01/2023	REV: 1

OK = Verifica soddisfatta

NOVERIF = Non verifica nei seguenti casi:

- Coefficiente di sicurezza minore di 1
- Se $B_x=0$ o $B_y=0$ per eccentricita' eccessiva dei carichi
- Se $S_{gmLimV}=0$ per inclinazione dei carichi eccessiva a causa di forze orizzontali elevate

SCARICA = Impronta non sollecitata o in trazione

DECOMPR = Verifica soddisfatta:

- lo sforzo agente sull'elemento è di trazione, ma la risultante dei carichi agenti sul terreno è di debole compressione per effetto del peso proprio dell'elemento stesso.

● **SPECIFICHE CAMPI TABELLA DI STAMPA**

La verifica allo scorrimento delle fondazioni superficiali è stata condotta calcolando la resistenza limite secondo la seguente relazione, che tiene in conto sia il contributo ad attrito che quello coesivo:

$$V_{res} = \frac{N}{\gamma_r} \times \frac{tg \varphi}{\gamma_\varphi} + \frac{A}{\gamma_r} \times \frac{C}{\gamma_c}$$


in cui:

g_φ, g_c : Coefficienti parziali per i parametri geotecnici (NTC Tabella 6.2.II)

g_r : Coefficienti parziali SLU fondazioni superficiali (NTC Tabella 6.4.I)

Si riporta di seguito la spiegazione delle sigle usate nella precedente relazione e nella relativa tabella di stampa.

Comb.	: Numero combinazione a cui si riferisce la verifica
Tipo Elem.	: Tipo di elemento strutturale: Trave/Plinto/Piastra
Elem. N.ro	: Numero dell'elemento strutturale (numero Travata/Filo/Nodo3D) in base al tipo elemento (Asta Winkler/Plinto/Platea)
N	: Scarico verticale
tg φ / g_φ	: Coefficiente attrito di progetto
g_r	
C/ g_c / g_r	: Adesione di progetto
Area	: Area ridotta
Vres	: Resistenza allo scorrimento dell' elemento strutturale
Fh	: Azione orizzontale trasmessa dall' elemento strutturale
Verifica	: Flag di verifica allo scorrimento del singolo elemento. Se l'elemento è collegato al resto della fondazione, la condizione di slittamento del singolo elemento non pregiudica la verifica globale della intera fondazione
Locale	
S(Vres)	: Somma dei contributi resistenti dei vari elementi strutturali
S(Fh)	: Somma dei contributi delle azioni orizzontali trasmesse dai vari elementi strutturali
Verifica Globale	: Flag di verifica globale allo scorrimento della intera fondazione

PV ITALY 1 S.r.l	IMPIANTO AGRI-VOLTAICO DI POTENZA NOMINALE 25.633,68 KWP E RELATIVE OPERE DI CONNESSIONE ALLA RTN DA REALIZZARSI IN COMUNE DI ITTIRI (SS)	 Antex group Ingegneria & Innovazione	
	RELAZIONE DI CALCOLO-TABULATI- FONDAZIONE CABINA SOTTOCAMPO		

- SPECIFICHE CAMPI TABELLA DI STAMPA**

Si riporta di seguito la spiegazione delle sigle usate sia nella tabella di stampa della portanza globale della fondazione, sia nella tabella della portanza di fondazione delle platee calcolata con analisi elastica del terreno:

Tabella 1: Moltiplicatori di Collasso

Comb. Nro	: Numero della combinazione
Risultante	: Valore della risultante delle forze trasmesse dalla fondazione per la combinazione attuale
Resistenza	: Valore della resistenza del terreno mobilitata in base al moltiplicatore dei carichi attuale
Moltipl.Collasso	: Valore del moltiplicatore dei carichi con cui è stato eseguito il calcolo. Poiche' tutti i coefficienti di sicurezza sono già stati considerati nei carichi e nelle caratteristiche dei materiali, un moltiplicatore = 1 significa che la verifica di portanza e' soddisfatta.
%Pl.Molle	: Percentuale delle molle in fase plastica nella combinazione attuale
STATUS	: Per moltiplicatori di collasso < 1 mostra NOVERIF, altrimenti OK

Tabella 2: Abbassamenti

Nodo3d	: Numero del nodo3d a cui si riferisce la molla elasto-plastica
SpostZ	: Abbassamento della molla elasto-plastica in corrispondenza del nodo3d
SpostZ/SpostEl	: Fattore di plasticizzazione della molla:

FASE ELASTICA ≤ 1 ; FASE PLASTICA > 1

Se per alcuni nodi non e' stato possibile ottenere la caratterizzazione geotecnica, allora tali nodi vengono esclusi dal modello di calcolo e la relativa molla viene contrassegnata in stampa con la sigla 'SCARTATA'

- SPECIFICHE CAMPI TABELLA DI STAMPA**

Si riporta di seguito la spiegazione delle sigle usate nella tabella di stampa dei cedimenti.

Filo	: numero del filo fisso in corrispondenza del quale viene calcolato lo stato deformativo
Comb.	: numero di combinazione di carico
Ced.El.	: cedimento elastico
Ced.Ed.	: cedimento edometrico

- SPECIFICHE CAMPI TABELLA DI STAMPA**

Si riporta di seguito la spiegazione delle sigle usate nella tabella dello stato tensionale.

Filo	: numero del filo fisso in corrispondenza del quale viene calcolato lo stato tensionale
Quot	: quota dalla superficie in corrispondenza della quale viene calcolato lo stato tensionale
Tens.	: tensione verticale indotta dai carichi esterni

DATI GENERALI

COEFFICIENTI PARZIALI GEOTECNICA

	TABELLA M1	TABELLA M2
Tangente Resist. Taglio	1,00	
Peso Specifico	1,00	
Coesione Efficace (c'k)	1,00	
Resist. a taglio NON drenata (cuk)	1,00	
Tipo Approccio	Combinazione Unica: (A1+M1+R3)	
Tipo di fondazione	Su Pali Infissi	
	COEFFICIENTE R1	COEFFICIENTE R2
Capacita' Portante		2,30
Scorrimento		1,10
Resist. alla Base		1,15
Resist. Lat. a Compr.		1,15
Resist. Lat. a Traz.		1,25
Carichi Trasversali		1,30
Fattore di correlazione CSI per il calcolo di Rk pali		1,70

CRITERI DI PROGETTO GEOTECNICI - FONDAZIONI SUPERFICIALI

CARATTERISTICHE DI SITO						CARATTERISTICHE DI SITO											
IDEN	Falda	Affond	Ricopr	Pend.X	Pend.Y	IDEN	Falda	Affond	Ricopr	Pend.X	Pend.Y	IDEN	Falda	Affond	Ricopr	Pend.X	Pend.Y
Crit N.ro	(m)	(m)	(m)	(grd)	(Grd)	Crit N.ro	(m)	(m)	(m)	(grd)	(Grd)	Crit N.ro	(m)	(m)	(m)	(grd)	(Grd)
1		0,00	0,00	0	0	2		1,00	0,60	0	0						

RISULTANTI SOLLECITAZIONI NODI PLATEE - SLU

Nod3d N.ro	Combinazione N.ro	Fz (t)	Nod3d N.ro	Combinazione N.ro	Fz (t)	Nod3d N.ro	Combinazione N.ro	Fz (t)	Nod3d N.ro	Combinazione N.ro	Fz (t)
1	A1/1	-2,31	2	A1/1	-2,31	3	A1/1	-2,31	4	A1/1	-2,31
	X+ A1/7	-1,38		X+ A1/8	-2,03		X+ A1/2	-1,38		X+ A1/5	-2,03
	X- A1/14	-2,03		X- A1/17	-1,38		X- A1/11	-2,03		X- A1/12	-1,38
	Y+ A1/28	-1,62		Y+ A1/18	-1,62		Y+ A1/27	-1,90		Y+ A1/21	-1,90
	Y- A1/30	-1,90		Y- A1/24	-1,90		Y- A1/33	-1,62		Y- A1/23	-1,62
9	A1/1	-4,61	10	A1/1	-4,59	11	A1/1	-8,87	12	A1/1	-4,59
	X+ A1/7	-3,40		X+ A1/7	-2,71		X+ A1/6	-6,45		X+ A1/8	-3,99
	X- A1/14	-3,40		X- A1/14	-3,99		X- A1/15	-6,45		X- A1/17	-2,71
	Y+ A1/26	-3,03		Y+ A1/28	-3,36		Y+ A1/18	-6,10		Y+ A1/18	-3,36
	Y- A1/30	-3,60		Y- A1/30	-3,64		Y- A1/24	-6,64		Y- A1/24	-3,64
13	A1/1	-4,58	14	A1/1	-8,79	15	A1/1	-4,58	16	A1/1	-4,59
	X+ A1/2	-2,66		X+ A1/6	-6,30		X+ A1/2	-3,93		X+ A1/2	-2,71
	X- A1/10	-3,93		X- A1/14	-6,30		X- A1/10	-2,66		X- A1/11	-3,99
	Y+ A1/26	-3,49		Y+ A1/18	-6,30		Y+ A1/18	-3,49		Y+ A1/27	-3,64
	Y- A1/30	-3,49		Y- A1/22	-6,30		Y- A1/22	-3,49		Y- A1/33	-3,36
17	A1/1	-8,87	18	A1/1	-4,59	19	A1/1	-4,61			
	X+ A1/3	-6,45		X+ A1/5	-3,99		X+ A1/2	-3,40			
	X- A1/10	-6,45		X- A1/12	-2,71		X- A1/11	-3,40			
	Y+ A1/21	-6,64		Y+ A1/21	-3,64		Y+ A1/26	-3,60			
	Y- A1/23	-6,10		Y- A1/23	-3,36		Y- A1/30	-3,03			

RISULTANTI SOLLECITAZIONI NODI PLATEE - SLD

Nod3d N.ro	Combinazione N.ro	Fz (t)	Nod3d N.ro	Combinazione N.ro	Fz (t)	Nod3d N.ro	Combinazione N.ro	Fz (t)	Nod3d N.ro	Combinazione N.ro	Fz (t)
1	SLD/1	-2,31	2	SLD/1	-2,31	3	SLD/1	-2,31	4	SLD/1	-2,31
	X+ SLD/7	-1,50		X+ SLD/8	-1,89		X+ SLD/2	-1,50		X+ SLD/5	-1,89
	X- SLD/14	-1,89		X- SLD/17	-1,50		X- SLD/11	-1,89		X- SLD/12	-1,50
	Y+ SLD/28	-1,61		Y+ SLD/18	-1,61		Y+ SLD/27	-1,83		Y+ SLD/21	-1,83
	Y- SLD/30	-1,83		Y- SLD/24	-1,83		Y- SLD/33	-1,61		Y- SLD/23	-1,61
9	SLD/1	-4,61	10	SLD/1	-4,59	11	SLD/1	-8,87	12	SLD/1	-4,59
	X+ SLD/6	-3,38		X+ SLD/7	-2,95		X+ SLD/6	-6,43		X+ SLD/8	-3,72
	X- SLD/14	-3,38		X- SLD/14	-3,72		X- SLD/15	-6,43		X- SLD/17	-2,95
	Y+ SLD/26	-3,10		Y+ SLD/28	-3,31		Y+ SLD/18	-6,16		Y+ SLD/18	-3,31
	Y- SLD/30	-3,53		Y- SLD/30	-3,53		Y- SLD/22	-6,57		Y- SLD/24	-3,53

Il presente documento è di proprietà della ANTEX GROUP srl.
È vietato la comunicazione a terzi o la riproduzione senza il permesso scritto della suddetta.
La società tutela i propri diritti a rigore di Legge.

Comm.: C21-036-S05



RISULTANTI SOLLECITAZIONI NODI PLATEE - SLD

Nod3d N.ro	Combinazione N.ro	Fz (t)	Nod3d N.ro	Combinazione N.ro	Fz (t)	Nod3d N.ro	Combinazione N.ro	Fz (t)	Nod3d N.ro	Combinazione N.ro	Fz (t)
13	SLD/1	-4,58	14	SLD/1	-8,79	15	SLD/1	-4,58	16	SLD/1	-4,59
	X+ SLD/2	-2,91		X+ SLD/2	-6,30		X+ SLD/2	-3,68		X+ SLD/2	-2,95
	X- SLD/10	-3,68		X- SLD/10	-6,30		X- SLD/10	-2,91		X- SLD/11	-3,72
	Y+ SLD/26	-3,41		Y+ SLD/18	-6,30		Y+ SLD/18	-3,41		Y+ SLD/27	-3,53
Y- SLD/30	-3,41	Y- SLD/22	-6,30	Y- SLD/22	-3,41	Y- SLD/33	-3,31				
17	SLD/1	-8,87	18	SLD/1	-4,59	19	SLD/1	-4,61			
	X+ SLD/3	-6,43		X+ SLD/5	-3,72		X+ SLD/2	-3,38			
	X- SLD/10	-6,43		X- SLD/12	-2,95		X- SLD/10	-3,38			
	Y+ SLD/18	-6,57		Y+ SLD/21	-3,53		Y+ SLD/26	-3,53			
Y- SLD/22	-6,16	Y- SLD/23	-3,31	Y- SLD/30	-3,10						

PARAMETRI GEOTECNICI PIASTRE WINKLER - S.L.D.

IDENTIFICATIVO				CONDIZIONE DRENATA							NON DRENATA	
Piast N.ro	Infiss m	Tipo Tabel	Gamma kg/mc	Fi Grd	C' kg/cmq	Mod.El kg/cmq	Poiss on	P base kg/cmq	Indice Rigid.	IndRig Crit.	Cu kg/cmq	P base kg/cmq
1	1,00	M1	1900	30,00	0,00	125,00	0,20	0,19	353,71	69,63		
2	1,00	M1	1900	30,00	0,00	125,00	0,20	0,19	353,71	69,63		
3	1,00	M1	1900	30,00	0,00	125,00	0,20	0,19	353,71	69,63		
4	1,00	M1	1900	30,00	0,00	125,00	0,20	0,19	353,71	69,63		
5	1,00	M1	1900	30,00	0,00	125,00	0,20	0,19	319,92	69,63		
6	1,00	M1	1900	30,00	0,00	125,00	0,20	0,19	319,92	69,63		
7	1,00	M1	1900	30,00	0,00	125,00	0,20	0,19	281,84	69,63		
8	1,00	M1	1900	30,00	0,00	125,00	0,20	0,19	319,92	69,63		
9	1,00	M1	1900	30,00	0,00	125,00	0,20	0,19	319,92	69,63		
10	1,00	M1	1900	30,00	0,00	125,00	0,20	0,19	281,84	69,63		
11	1,00	M1	1900	30,00	0,00	125,00	0,20	0,19	319,92	69,63		
12	1,00	M1	1900	30,00	0,00	125,00	0,20	0,19	319,92	69,63		
13	1,00	M1	1900	30,00	0,00	125,00	0,20	0,19	281,84	69,63		
14	1,00	M1	1900	30,00	0,00	125,00	0,20	0,19	319,92	69,63		
15	1,00	M1	1900	30,00	0,00	125,00	0,20	0,19	319,92	69,63		

COEFFICIENTI DI PORTANZA PIASTRE WINKLER - CONDIZIONI DRENATE - S.L.D.

Piast N.ro	Brinch Hansen			IcIte Gc=Gg	Incl.PianoPosa Bc Bq Bg			Comb N.ro	Ilgk Sism	CoeffIncl.Car. Icv Iqv IgV			Affondamento Dc Dq Dg			Forma Sc Sq Sg			Punzonamento Psic Psig Psig		
	Nc	Nq	Ng		Bc	Bq	Bg			Icv	Iqv	IgV	Dc	Dq	Dg	Sc	Sq	Sg	Psic	Psig	Psig
1	30,14	18,40	22,40	1,00	1,00	1,00	1,00	SLD/1	1,00	1,00	1,00	1,00	1,30	1,28	1,00	1,61	1,58	0,60	1,00	1,00	1,00
								X+ SLD/7	1,00	0,96	0,97	0,94	1,30	1,28	1,00	1,61	1,58	0,60	1,00	1,00	1,00
								X- SLD/14	1,00	0,96	0,97	0,94	1,30	1,28	1,00	1,61	1,58	0,60	1,00	1,00	1,00
								Y+ SLD/28	1,00	0,96	0,97	0,94	1,30	1,28	1,00	1,61	1,58	0,60	1,00	1,00	1,00
								Y- SLD/30	1,00	0,96	0,97	0,94	1,30	1,28	1,00	1,61	1,58	0,60	1,00	1,00	1,00
2	30,14	18,40	22,40	1,00	1,00	1,00	1,00	SLD/1	1,00	1,00	1,00	1,00	1,30	1,28	1,00	1,61	1,58	0,60	1,00	1,00	1,00
								X+ SLD/8	1,00	0,96	0,97	0,94	1,30	1,28	1,00	1,61	1,58	0,60	1,00	1,00	1,00
								X- SLD/17	1,00	0,96	0,97	0,94	1,30	1,28	1,00	1,61	1,58	0,60	1,00	1,00	1,00
								Y+ SLD/18	1,00	0,96	0,97	0,94	1,30	1,28	1,00	1,61	1,58	0,60	1,00	1,00	1,00
								Y- SLD/24	1,00	0,96	0,97	0,94	1,30	1,28	1,00	1,61	1,58	0,60	1,00	1,00	1,00

Il presente documento è di proprietà della ANTEX GROUP srl.
È vietato la comunicazione a terzi o la riproduzione senza il permesso scritto della suddetta.
La società tutela i propri diritti a rigore di Legge.

Comm.: C21-036-S05



CARICO LIMITE PIASTRE WINKLER - S.L.D.														
IDENTIFICATIVO					DRENATE		NON DRENATE		RISULTATI					
Piastr N.ro	Nodo3d N.ro	Comb N.ro	Bx' m	By' m	GamEf kg/mc	QLimV (t)	GamEf kg/mc	QLimV (t)	N (t)	Coeff. Sicur.	Minimo CoeSic	N/Ar kg/cmq	QLim/Ar kg/cmq	Status Verifica
1	1	SLD/1	0,68	0,68	1900	16,2								
		X+ SLD/7	0,68	0,68	1900	15,6								
		X- SLD/14	0,68	0,68	1900	15,6								
		Y+ SLD/28	0,68	0,68	1900	15,6								
		Y- SLD/30	0,68	0,68	1900	15,6								
2	2	SLD/1	0,68	0,68	1900	16,2								
		X+ SLD/8	0,68	0,68	1900	15,6								
		X- SLD/17	0,68	0,68	1900	15,6								
		Y+ SLD/18	0,68	0,68	1900	15,6								
		Y- SLD/24	0,68	0,68	1900	15,6								
3	3	SLD/1	0,68	0,68	1900	16,2								
		X+ SLD/2	0,68	0,68	1900	15,6								
		X- SLD/11	0,68	0,68	1900	15,6								
		Y+ SLD/27	0,68	0,68	1900	15,6								
		Y- SLD/33	0,68	0,68	1900	15,6								
4	4	SLD/1	0,68	0,68	1900	16,2								
		X+ SLD/5	0,68	0,68	1900	15,6								
		X- SLD/12	0,68	0,68	1900	15,6								
		Y+ SLD/21	0,68	0,68	1900	15,6								
		Y- SLD/23	0,68	0,68	1900	15,6								
5	9	SLD/1	0,97	0,97	1900	32,7								
		X+ SLD/6	0,97	0,97	1900	31,5								
		X- SLD/14	0,97	0,97	1900	31,5								
		Y+ SLD/26	0,97	0,97	1900	31,5								
		Y- SLD/30	0,97	0,97	1900	31,5								
6	10	SLD/1	0,97	0,97	1900	32,7								
		X+ SLD/7	0,97	0,97	1900	31,5								
		X- SLD/14	0,97	0,97	1900	31,5								
		Y+ SLD/28	0,97	0,97	1900	31,5								
		Y- SLD/30	0,97	0,97	1900	31,5								
7	11	SLD/1	1,37	1,37	1900	68,7								
		X+ SLD/6	1,37	1,37	1900	66,0								
		X- SLD/15	1,37	1,37	1900	66,0								
		Y+ SLD/18	1,37	1,37	1900	66,0								
		Y- SLD/22	1,37	1,37	1900	66,0								
8	12	SLD/1	0,97	0,97	1900	32,7								
		X+ SLD/8	0,97	0,97	1900	31,5								
		X- SLD/17	0,97	0,97	1900	31,5								
		Y+ SLD/18	0,97	0,97	1900	31,5								
		Y- SLD/24	0,97	0,97	1900	31,5								
9	13	SLD/1	0,97	0,97	1900	32,7								
		X+ SLD/2	0,97	0,97	1900	31,5								
		X- SLD/10	0,97	0,97	1900	31,5								
		Y+ SLD/26	0,97	0,97	1900	31,5								
		Y- SLD/30	0,97	0,97	1900	31,5								
10	14	SLD/1	1,37	1,37	1900	68,7								
		X+ SLD/2	1,37	1,37	1900	66,0								
		X- SLD/10	1,37	1,37	1900	66,0								
		Y+ SLD/18	1,37	1,37	1900	66,0								
		Y- SLD/22	1,37	1,37	1900	66,0								
11	15	SLD/1	0,97	0,97	1900	32,7								
		X+ SLD/2	0,97	0,97	1900	31,5								
		X- SLD/10	0,97	0,97	1900	31,5								
		Y+ SLD/18	0,97	0,97	1900	31,5								
		Y- SLD/22	0,97	0,97	1900	31,5								
12	16	SLD/1	0,97	0,97	1900	32,7								
		X+ SLD/2	0,97	0,97	1900	31,5								
		X- SLD/11	0,97	0,97	1900	31,5								
		Y+ SLD/27	0,97	0,97	1900	31,5								
		Y- SLD/33	0,97	0,97	1900	31,5								

CARICO LIMITE PIASTRE WINKLER - S.L.D.															
IDENTIFICATIVO					DRENATE		NON DRENATE		RISULTATI						
Piastr N.ro	Nodo3d N.ro	Comb N.ro	Bx' m	By' m	GamEf kg/mc	QLimV (t)	GamEf kg/mc	QLimV (t)	N (t)	Coeff. Secur.	Minimo CoeSic	N/Ar kg/cmq	QLim/Ar kg/cmq	Status Verifica	
13	17	SLD/1	1,37	1,37	1900	68,7									
		X+ SLD/3	1,37	1,37	1900	66,0									
		X- SLD/10	1,37	1,37	1900	66,0									
		Y+ SLD/18	1,37	1,37	1900	66,0									
		Y- SLD/22	1,37	1,37	1900	66,0									
14	18	SLD/1	0,97	0,97	1900	32,7									
		X+ SLD/5	0,97	0,97	1900	31,5									
		X- SLD/12	0,97	0,97	1900	31,5									
		Y+ SLD/21	0,97	0,97	1900	31,5									
		Y- SLD/23	0,97	0,97	1900	31,5									
15	19	SLD/1	0,97	0,97	1900	32,7									
		X+ SLD/2	0,97	0,97	1900	31,5									
		X- SLD/10	0,97	0,97	1900	31,5									
		Y+ SLD/26	0,97	0,97	1900	31,5									
		Y- SLD/30	0,97	0,97	1900	31,5									

VERIFICA ALLO SCORRIMENTO - CONDIZIONI DRENATE													
IDENTIFICATIVO			RISULTATI										
Combinazione N.ro	Tipo Elem.	Elem N.ro	N (t)	Tg(fi)/ Gfi/Gr	C/Gc/Gr t/mq	Area mq	Vres (t)	Fh (t)	Verifica Locale	S(Vres) (t)	S(Fh) (t)	Verifica Globale	
A1 / 14	PIASTRA	1	2,03	0,244	0,00	0,469	0,49	0,09	OK	0,49	0,09		
	PIASTRA	2	1,38	0,244	0,00	0,469	0,34	0,06	OK	0,83	0,14		
	PIASTRA	3	1,94	0,244	0,00	0,469	0,47	0,08	OK	1,30	0,22		
	PIASTRA	4	1,30	0,244	0,00	0,469	0,32	0,05	OK	1,62	0,28		
	PIASTRA	9	3,40	0,244	0,00	0,938	0,83	0,14	OK	2,45	0,42		
	PIASTRA	10	3,99	0,244	0,00	0,938	0,97	0,17	OK	3,42	0,59		
	PIASTRA	11	6,45	0,244	0,00	1,875	1,57	0,27	OK	4,99	0,86		
	PIASTRA	12	2,71	0,244	0,00	0,938	0,66	0,11	OK	5,65	0,97		
	PIASTRA	13	3,93	0,244	0,00	0,938	0,96	0,16	OK	6,61	1,14		
	PIASTRA	14	6,30	0,244	0,00	1,875	1,53	0,26	OK	8,14	1,40		
	PIASTRA	15	2,66	0,244	0,00	0,938	0,65	0,11	OK	8,79	1,51		
	PIASTRA	16	3,90	0,244	0,00	0,938	0,95	0,16	OK	9,74	1,68		
	PIASTRA	17	6,29	0,244	0,00	1,875	1,53	0,26	OK	11,27	1,94		
	PIASTRA	18	2,63	0,244	0,00	0,938	0,64	0,11	OK	11,91	2,05		
	PIASTRA	19	3,23	0,244	0,00	0,938	0,79	0,14	OK	12,70	2,19	OK	

PORTANZA GLOBALE PIASTRE - MOLTIPLICATORI DI COLLASSO - SLU											
Comb N.ro	DRENATE				NON DRENATE				RISULTATI		
	Risult (t)	Resist (t)	Moltip. Collasso	%Pl. Moll	Risult (t)	Resist (t)	Moltip. Collasso	%Pl. Moll	Moltip. Minimo	STATUS (m)	
A1 / 1	73	73	1,000	0					1,000	OK	
A1 / 2	52	52	1,000	0						OK	
A1 / 3	52	52	1,000	0						OK	
A1 / 4	52	52	1,000	0						OK	
A1 / 5	52	52	1,000	0						OK	
A1 / 6	52	52	1,000	0						OK	
A1 / 7	52	52	1,000	0						OK	
A1 / 8	52	52	1,000	0						OK	
A1 / 9	52	52	1,000	0						OK	
A1 / 10	52	52	1,000	0						OK	
A1 / 11	52	52	1,000	0						OK	
A1 / 12	52	52	1,000	0						OK	
A1 / 13	52	52	1,000	0						OK	
A1 / 14	52	52	1,000	0						OK	
A1 / 15	52	52	1,000	0						OK	
A1 / 16	52	52	1,000	0						OK	
A1 / 17	52	52	1,000	0						OK	
A1 / 18	52	52	1,000	0						OK	
A1 / 19	52	52	1,000	0						OK	
A1 / 20	52	52	1,000	0						OK	
A1 / 21	52	52	1,000	0						OK	
A1 / 22	52	52	1,000	0						OK	

PORTANZA GLOBALE PIASTRE - MOLTIPLICATORI DI COLLASSO - SLU

Comb N.ro	DRENATE				NON DRENATE				RISULTATI	
	Risult (t)	Resist (t)	Moltip. Collasso	%Pl. Moll	Risult (t)	Resist (t)	Moltip. Collasso	%Pl. Moll	Moltip. Minimo	STATUS (m)
A1 / 23	52	52	1,000	0						OK
A1 / 24	52	52	1,000	0						OK
A1 / 25	52	52	1,000	0						OK
A1 / 26	52	52	1,000	0						OK
A1 / 27	52	52	1,000	0						OK
A1 / 28	52	52	1,000	0						OK
A1 / 29	52	52	1,000	0						OK
A1 / 30	52	52	1,000	0						OK
A1 / 31	52	52	1,000	0						OK
A1 / 32	52	52	1,000	0						OK
A1 / 33	52	52	1,000	0						OK

PORTANZA GLOBALE PIASTRE - ABBASSAMENTI COMBINAZ.: A1/1

DRENATE		NON DRENATE		DRENATE		NON DRENATE		DRENATE		NON DRENATE	
Nodo3d N.ro	SpostZ (cm)	SpostZ/ SpostEI	SpostZ (cm)	SpostZ/ SpostEI	Nodo3d N.ro	SpostZ (cm)	SpostZ/ SpostEI	Nodo3d N.ro	SpostZ (cm)	SpostZ/ SpostEI	
1	-0,098	ELAST.			2	-0,098	ELAST.	3	-0,098	ELAST.	
4	-0,098	ELAST.			9	-0,097	ELAST.	10	-0,097	ELAST.	
11	-0,096	ELAST.			12	-0,097	ELAST.	13	-0,096	ELAST.	
14	-0,096	ELAST.			15	-0,096	ELAST.	16	-0,097	ELAST.	
17	-0,096	ELAST.			18	-0,097	ELAST.	19	-0,097	ELAST.	

PORTANZA GLOBALE PIASTRE - MOLTIPLICATORI DI COLLASSO - SLD

Comb N.ro	DRENATE				NON DRENATE				RISULTATI	
	Risult (t)	Resist (t)	Moltip. Collasso	%Pl. Moll	Risult (t)	Resist (t)	Moltip. Collasso	%Pl. Moll	Moltip. Minimo	STATUS (m)
A1 / 1	73	73	1,000	0					1,000	OK
A1 / 2	52	52	1,000	0						OK
A1 / 3	52	52	1,000	0						OK
A1 / 4	52	52	1,000	0						OK
A1 / 5	52	52	1,000	0						OK
A1 / 6	52	52	1,000	0						OK
A1 / 7	52	52	1,000	0						OK
A1 / 8	52	52	1,000	0						OK
A1 / 9	52	52	1,000	0						OK
A1 / 10	52	52	1,000	0						OK
A1 / 11	52	52	1,000	0						OK
A1 / 12	52	52	1,000	0						OK
A1 / 13	52	52	1,000	0						OK
A1 / 14	52	52	1,000	0						OK
A1 / 15	52	52	1,000	0						OK
A1 / 16	52	52	1,000	0						OK
A1 / 17	52	52	1,000	0						OK
A1 / 18	52	52	1,000	0						OK
A1 / 19	52	52	1,000	0						OK
A1 / 20	52	52	1,000	0						OK
A1 / 21	52	52	1,000	0						OK
A1 / 22	52	52	1,000	0						OK
A1 / 23	52	52	1,000	0						OK
A1 / 24	52	52	1,000	0						OK
A1 / 25	52	52	1,000	0						OK
A1 / 26	52	52	1,000	0						OK
A1 / 27	52	52	1,000	0						OK
A1 / 28	52	52	1,000	0						OK
A1 / 29	52	52	1,000	0						OK
A1 / 30	52	52	1,000	0						OK
A1 / 31	52	52	1,000	0						OK

PORTANZA GLOBALE PIASTRE - MOLTIPLICATORI DI COLLASSO - SLD

Comb N.ro	DRENATE				NON DRENATE				RISULTATI	
	Risult (t)	Resist (t)	Moltipl. Collasso	%PI. Moll	Risult (t)	Resist (t)	Moltipl. Collasso	%PI. Moll	Moltipl. Minimo	STATUS (m)
A1 / 32	52	52	1,000	0						OK
A1 / 33	52	52	1,000	0						OK

PORTANZA GLOBALE PIASTRE - ABBASSAMENTI COMBINAZ.: SLD/1

Nodo3d N.ro	DRENATE		NON DRENATE		Nodo3d N.ro	DRENATE		NON DRENATE		Nodo3d N.ro	DRENATE		NON DRENATE	
	SpostZ (cm)	SpostZ/ SpostEl	SpostZ (cm)	SpostZ/ SpostEl		SpostZ (cm)	SpostZ/ SpostEl	SpostZ (cm)	SpostZ/ SpostEl		SpostZ (cm)	SpostZ/ SpostEl	SpostZ (cm)	SpostZ/ SpostEl
1	-0,098	ELAST.			2	-0,098	ELAST.			3	-0,098	ELAST.		
4	-0,098	ELAST.			9	-0,097	ELAST.			10	-0,097	ELAST.		
11	-0,096	ELAST.			12	-0,097	ELAST.			13	-0,096	ELAST.		
14	-0,096	ELAST.			15	-0,096	ELAST.			16	-0,097	ELAST.		
17	-0,096	ELAST.			18	-0,097	ELAST.			19	-0,097	ELAST.		

CEDIMENTI ELASTICI ED EDOMETRICI

Filo N.ro	Combinaz N.ro	Ced.El. cm	Ced.Ed. cm	Filo N.ro	Combinaz N.ro	Ced.El. cm	Ced.Ed. cm	Filo N.ro	Combinaz N.ro	Ced.El. cm	Ced.Ed. cm	Filo N.ro	Combinaz N.ro	Ced.El. cm	Ced.Ed. cm
1	Rare 1	0,36		2	Rare 1	0,36		3	Rare 1	0,36		4	Rare 1	0,36	
	Freq 1	0,35			Freq 1	0,35			Freq 1	0,35			Freq 1	0,35	
	Perm 1	0,35			Perm 1	0,35			Perm 1	0,35			Perm 1	0,35	
	MAX.	0,36			MAX.	0,36			MAX.	0,36			MAX.	0,36	
5	Rare 1	0,46		6	Rare 1	0,48		7	Rare 1	0,58		8	Rare 1	0,48	
	Freq 1	0,44			Freq 1	0,47			Freq 1	0,56			Freq 1	0,47	
	Perm 1	0,43			Perm 1	0,46			Perm 1	0,55			Perm 1	0,46	
	MAX.	0,46			MAX.	0,48			MAX.	0,58			MAX.	0,48	
9	Rare 1	0,49		10	Rare 1	0,59		11	Rare 1	0,49		12	Rare 1	0,48	
	Freq 1	0,47			Freq 1	0,57			Freq 1	0,47			Freq 1	0,47	
	Perm 1	0,47			Perm 1	0,56			Perm 1	0,47			Perm 1	0,46	
	MAX.	0,49			MAX.	0,59			MAX.	0,49			MAX.	0,48	
13	Rare 1	0,58		14	Rare 1	0,48		15	Rare 1	0,46					
	Freq 1	0,56			Freq 1	0,47			Freq 1	0,44					
	Perm 1	0,55			Perm 1	0,46			Perm 1	0,43					
	MAX.	0,58			MAX.	0,48			MAX.	0,46					

STATO TENSIONALE NEL TERRENO - COMBINAZIONE: Rare 1

Filo N.ro	Quota m	Tens. kg/cmq	Filo N.ro	Quota m	Tens. kg/cmq	Filo N.ro	Quota m	Tens. kg/cmq	Filo N.ro	Quota m	Tens. kg/cmq	Filo N.ro	Quota m	Tens. kg/cmq	Filo N.ro	Quota m	Tens. kg/cmq
1	0,0	0,37	2	0,0	0,37	3	0,0	0,37	4	0,0	0,37	5	0,0	0,37	6	0,0	0,37
	0,1	0,37		0,1	0,37		0,1	0,37		0,1	0,37		0,1	0,37		0,1	0,37
	0,2	0,36		0,2	0,36		0,2	0,36		0,2	0,36		0,2	0,37		0,2	0,37
	0,3	0,36		0,3	0,36		0,3	0,36		0,3	0,36		0,3	0,36		0,3	0,36
	0,4	0,35		0,4	0,35		0,4	0,35		0,4	0,35		0,4	0,36		0,4	0,36
	0,5	0,34		0,5	0,34		0,5	0,34		0,5	0,34		0,5	0,35		0,5	0,36
	0,6	0,19		0,6	0,19		0,6	0,19		0,6	0,19		0,6	0,35		0,6	0,36
	0,7	0,15		0,7	0,15		0,7	0,15		0,7	0,15		0,7	0,34		0,7	0,35
	0,8	0,13		0,8	0,13		0,8	0,13		0,8	0,13		0,8	0,24		0,8	0,25
	0,9	0,12		0,9	0,12		0,9	0,12		0,9	0,12		0,9	0,21		0,9	0,22
	1,0	0,11		1,0	0,11		1,0	0,11		1,0	0,11		1,0	0,18		1,0	0,20
	1,1	0,10		1,1	0,10		1,1	0,10		1,1	0,10		1,1	0,17		1,1	0,19
	1,2	0,10		1,2	0,10		1,2	0,10		1,2	0,10		1,2	0,15		1,2	0,17
	1,3	0,09		1,3	0,09		1,3	0,09		1,3	0,09		1,3	0,14		1,3	0,17
	1,4	0,09		1,4	0,09		1,4	0,09		1,4	0,09		1,4	0,14		1,4	0,16
	1,5	0,09		1,5	0,09		1,5	0,09		1,5	0,09		1,5	0,13		1,5	0,15
	1,6	0,08		1,6	0,08		1,6	0,08		1,6	0,08		1,6	0,12		1,6	0,15
	1,7	0,08		1,7	0,08		1,7	0,08		1,7	0,08		1,7	0,12		1,7	0,14
	1,8	0,08		1,8	0,08		1,8	0,08		1,8	0,08		1,8	0,11		1,8	0,14
	1,9	0,07		1,9	0,07		1,9	0,07		1,9	0,07		1,9	0,08		1,9	0,11
	2,0	0,06		2,0	0,06		2,0	0,06		2,0	0,06		2,0	0,08		2,0	0,11
	2,1	0,06		2,1	0,06		2,1	0,06		2,1	0,06		2,1	0,08		2,1	0,11
	2,2	0,05		2,2	0,05		2,2	0,05		2,2	0,05		2,2	0,06		2,2	0,07
	2,3	0,05		2,3	0,05		2,3	0,05		2,3	0,05		2,3	0,06		2,3	0,07
	2,4	0,05		2,4	0,05		2,4	0,05		2,4	0,05		2,4	0,06		2,4	0,07
	2,5	0,03		2,5	0,03		2,5	0,03		2,5	0,03		2,5	0,04		2,5	0,04
	2,6	0,03		2,6	0,03		2,6	0,03		2,6	0,03		2,6	0,04		2,6	0,04
	2,7	0,03		2,7	0,03		2,7	0,03		2,7	0,03		2,7	0,04		2,7	0,04
	2,8	0,03		2,8	0,03		2,8	0,03		2,8	0,03		2,8	0,03		2,8	0,04
	2,9	0,03		2,9	0,03		2,9	0,03		2,9	0,03		2,9	0,03		2,9	0,04

STATO TENSIONALE NEL TERRENO - COMBINAZIONE:Rare 1

Filo N.ro	Quota m	Tens. kg/cmq	Filo N.ro	Quota m	Tens. kg/cmq	Filo N.ro	Quota m	Tens. kg/cmq	Filo N.ro	Quota m	Tens. kg/cmq	Filo N.ro	Quota m	Tens. kg/cmq	Filo N.ro	Quota m	Tens. kg/cmq
7	0,7	0,36	8	0,0	0,37	9	0,0	0,37	10	0,8	0,37	11	0,0	0,37	12	0,0	0,37
	0,8	0,36		0,1	0,37		0,1	0,37		0,9	0,37		0,1	0,37		0,1	0,37
	0,9	0,36		0,2	0,37		0,2	0,36		1,0	0,37		0,2	0,36		0,2	0,37
	1,0	0,36		0,3	0,36		0,3	0,36		1,1	0,32		0,3	0,36		0,3	0,36
	1,1	0,31		0,4	0,36		0,4	0,36		1,2	0,29		0,4	0,36		0,4	0,36
	1,2	0,28		0,5	0,36		0,5	0,36		1,3	0,28		0,5	0,36		0,5	0,36
	1,3	0,26		0,6	0,36		0,6	0,36		1,4	0,26		0,6	0,36		0,6	0,36
	1,4	0,24		0,7	0,35		0,7	0,35		1,5	0,25		0,7	0,35		0,7	0,35
	1,5	0,23		0,8	0,25		0,8	0,26		1,6	0,23		0,8	0,26		0,8	0,25
	1,6	0,22		0,9	0,22		0,9	0,23		1,7	0,22		0,9	0,23		0,9	0,22
	1,7	0,21		1,0	0,20		1,0	0,21		1,8	0,22		1,0	0,21		1,0	0,20
	1,8	0,20		1,1	0,19		1,1	0,19		1,9	0,15		1,1	0,19		1,1	0,19
	1,9	0,15		1,2	0,17		1,2	0,18		2,0	0,15		1,2	0,18		1,2	0,17
	2,0	0,14		1,3	0,17		1,3	0,18		2,1	0,14		1,3	0,18		1,3	0,17
	2,1	0,13		1,4	0,16		1,4	0,17		2,2	0,10		1,4	0,17		1,4	0,16
	2,2	0,09		1,5	0,15		1,5	0,16		2,3	0,10		1,5	0,16		1,5	0,15
	2,3	0,09		1,6	0,15		1,6	0,16		2,4	0,09		1,6	0,16		1,6	0,15
	2,4	0,09		1,7	0,14		1,7	0,16		2,5	0,06		1,7	0,16		1,7	0,14
	2,5	0,06		1,8	0,14		1,8	0,15		2,6	0,05		1,8	0,15		1,8	0,14
	2,6	0,06		1,9	0,11		1,9	0,12		2,7	0,05		1,9	0,12		1,9	0,11
	2,7	0,05		2,0	0,11		2,0	0,12		2,8	0,05		2,0	0,12		2,0	0,11
	2,8	0,05		2,1	0,11		2,1	0,11		2,9	0,05		2,1	0,11		2,1	0,11
	2,9	0,05		2,2	0,07		2,2	0,08		3,0	0,04		2,2	0,08		2,2	0,07
	3,0	0,05		2,3	0,07		2,3	0,08		3,1	0,01		2,3	0,08		2,3	0,07
	3,1	0,01		2,4	0,07		2,4	0,08		3,2	0,01		2,4	0,08		2,4	0,07
	3,2	0,01		2,5	0,04		2,5	0,04		3,3	0,01		2,5	0,04		2,5	0,04
	3,3	0,01		2,6	0,04		2,6	0,04		3,4	0,01		2,6	0,04		2,6	0,04
	3,4	0,01		2,7	0,04		2,7	0,04		3,5	0,01		2,7	0,04		2,7	0,04
	3,5	0,01		2,8	0,04		2,8	0,04		3,6	0,01		2,8	0,04		2,8	0,04
	3,6	0,01		2,9	0,04		2,9	0,04		2,9	0,03		2,9	0,04		2,9	0,04

13	0,7	0,36	14	0,0	0,37	15	0,0	0,37									
	0,8	0,36		0,1	0,37		0,1	0,37									
	0,9	0,36		0,2	0,37		0,2	0,37									
	1,0	0,36		0,3	0,36		0,3	0,36									
	1,1	0,31		0,4	0,36		0,4	0,36									
	1,2	0,28		0,5	0,36		0,5	0,35									
	1,3	0,26		0,6	0,36		0,6	0,35									
	1,4	0,24		0,7	0,35		0,7	0,34									
	1,5	0,23		0,8	0,25		0,8	0,24									
	1,6	0,22		0,9	0,22		0,9	0,21									
	1,7	0,21		1,0	0,20		1,0	0,18									
	1,8	0,20		1,1	0,19		1,1	0,17									
	1,9	0,15		1,2	0,17		1,2	0,15									
	2,0	0,14		1,3	0,17		1,3	0,14									
	2,1	0,13		1,4	0,16		1,4	0,14									
	2,2	0,09		1,5	0,15		1,5	0,13									
	2,3	0,09		1,6	0,15		1,6	0,12									
	2,4	0,09		1,7	0,14		1,7	0,12									
	2,5	0,06		1,8	0,14		1,8	0,11									
	2,6	0,06		1,9	0,11		1,9	0,08									
	2,7	0,05		2,0	0,11		2,0	0,08									
	2,8	0,05		2,1	0,11		2,1	0,08									
	2,9	0,05		2,2	0,07		2,2	0,06									
	3,0	0,05		2,3	0,07		2,3	0,06									
	3,1	0,01		2,4	0,07		2,4	0,06									
	3,2	0,01		2,5	0,04		2,5	0,04									
	3,3	0,01		2,6	0,04		2,6	0,04									
	3,4	0,01		2,7	0,04		2,7	0,04									
	3,5	0,01		2,8	0,04		2,8	0,03									
	3,6	0,01		2,9	0,04		2,9	0,03									

STATO TENSIONALE NEL TERRENO - COMBINAZIONE:Freq 1

Filo N.ro	Quota m	Tens. kg/cmq	Filo N.ro	Quota m	Tens. kg/cmq	Filo N.ro	Quota m	Tens. kg/cmq	Filo N.ro	Quota m	Tens. kg/cmq	Filo N.ro	Quota m	Tens. kg/cmq	Filo N.ro	Quota m	Tens. kg/cmq
1	0,0	0,36	2	0,0	0,36	3	0,0	0,36	4	0,0	0,36	5	0,0	0,36	6	0,0	0,36
	0,1	0,36		0,1	0,36		0,1	0,36		0,1	0,36		0,1	0,36		0,1	0,36
	0,2	0,35		0,2	0,35		0,2	0,35		0,2	0,35		0,2	0,35		0,2	0,35
	0,3	0,34		0,3	0,34		0,3	0,34		0,3	0,34		0,3	0,35		0,3	0,35
	0,4	0,34		0,4	0,34		0,4	0,34		0,4	0,34		0,4	0,35		0,4	0,35
	0,5	0,33		0,5	0,33		0,5	0,33		0,5	0,33		0,5	0,34		0,5	0,35
	0,6	0,18		0,6	0,18		0,6	0,18		0,6	0,18		0,6	0,34		0,6	0,34
	0,7	0,15		0,7	0,15		0,7	0,15		0,7	0,15		0,7	0,33		0,7	0,34
	0,8	0,13		0,8	0,13		0,8	0,13		0,8	0,13		0,8	0,23		0,8	0,24

Il presente documento è di proprietà della ANTEX GROUP srl.
È vietato la comunicazione a terzi o la riproduzione senza il permesso scritto della suddetta.
La società tutela i propri diritti a rigore di Legge.

Comm.: C21-036-S05



STATO TENSIONALE NEL TERRENO - COMBINAZIONE:Freq 1

Filo N.ro	Quota m	Tens. kg/cmq	Filo N.ro	Quota m	Tens. kg/cmq	Filo N.ro	Quota m	Tens. kg/cmq	Filo N.ro	Quota m	Tens. kg/cmq	Filo N.ro	Quota m	Tens. kg/cmq	Filo N.ro	Quota m	Tens. kg/cmq
	0,9	0,11		0,9	0,11		0,9	0,11		0,9	0,11		0,9	0,20		0,9	0,21
	1,0	0,10		1,0	0,10		1,0	0,10		1,0	0,10		1,0	0,18		1,0	0,19
	1,1	0,10		1,1	0,10		1,1	0,10		1,1	0,10		1,1	0,16		1,1	0,18
	1,2	0,09		1,2	0,09		1,2	0,09		1,2	0,09		1,2	0,15		1,2	0,17
	1,3	0,09		1,3	0,09		1,3	0,09		1,3	0,09		1,3	0,14		1,3	0,16
	1,4	0,09		1,4	0,09		1,4	0,09		1,4	0,09		1,4	0,13		1,4	0,15
	1,5	0,08		1,5	0,08		1,5	0,08		1,5	0,08		1,5	0,13		1,5	0,15
	1,6	0,08		1,6	0,08		1,6	0,08		1,6	0,08		1,6	0,12		1,6	0,14
	1,7	0,08		1,7	0,08		1,7	0,08		1,7	0,08		1,7	0,12		1,7	0,14
	1,8	0,08		1,8	0,08		1,8	0,08		1,8	0,08		1,8	0,11		1,8	0,13
	1,9	0,06		1,9	0,06		1,9	0,06		1,9	0,06		1,9	0,08		1,9	0,11
	2,0	0,06		2,0	0,06		2,0	0,06		2,0	0,06		2,0	0,08		2,0	0,11
	2,1	0,06		2,1	0,06		2,1	0,06		2,1	0,06		2,1	0,08		2,1	0,10
	2,2	0,04		2,2	0,04		2,2	0,04		2,2	0,04		2,2	0,06		2,2	0,07
	2,3	0,04		2,3	0,04		2,3	0,04		2,3	0,04		2,3	0,06		2,3	0,07
	2,4	0,04		2,4	0,04		2,4	0,04		2,4	0,04		2,4	0,05		2,4	0,07
	2,5	0,03		2,5	0,03		2,5	0,03		2,5	0,03		2,5	0,04		2,5	0,04
	2,6	0,03		2,6	0,03		2,6	0,03		2,6	0,03		2,6	0,04		2,6	0,04
	2,7	0,03		2,7	0,03		2,7	0,03		2,7	0,03		2,7	0,03		2,7	0,04
	2,8	0,03		2,8	0,03		2,8	0,03		2,8	0,03		2,8	0,03		2,8	0,04
	2,9	0,03		2,9	0,03		2,9	0,03		2,9	0,03		2,9	0,03		2,9	0,04
7	0,7	0,35	8	0,0	0,36	9	0,0	0,36	10	0,8	0,36	11	0,0	0,36	12	0,0	0,36
	0,8	0,35		0,1	0,36		0,1	0,35		0,9	0,36		0,1	0,35		0,1	0,36
	0,9	0,35		0,2	0,35		0,2	0,35		1,0	0,35		0,2	0,35		0,2	0,35
	1,0	0,34		0,3	0,35		0,3	0,35		1,1	0,31		0,3	0,35		0,3	0,35
	1,1	0,30		0,4	0,35		0,4	0,35		1,2	0,28		0,4	0,35		0,4	0,35
	1,2	0,27		0,5	0,35		0,5	0,35		1,3	0,27		0,5	0,35		0,5	0,35
	1,3	0,25		0,6	0,34		0,6	0,35		1,4	0,25		0,6	0,35		0,6	0,34
	1,4	0,23		0,7	0,34		0,7	0,34		1,5	0,24		0,7	0,34		0,7	0,34
	1,5	0,22		0,8	0,24		0,8	0,25		1,6	0,23		0,8	0,25		0,8	0,24
	1,6	0,21		0,9	0,21		0,9	0,22		1,7	0,22		0,9	0,22		0,9	0,21
	1,7	0,20		1,0	0,19		1,0	0,20		1,8	0,21		1,0	0,20		1,0	0,19
	1,8	0,19		1,1	0,18		1,1	0,19		1,9	0,15		1,1	0,19		1,1	0,18
	1,9	0,14		1,2	0,17		1,2	0,18		2,0	0,14		1,2	0,18		1,2	0,17
	2,0	0,14		1,3	0,16		1,3	0,17		2,1	0,14		1,3	0,17		1,3	0,16
	2,1	0,13		1,4	0,15		1,4	0,16		2,2	0,10		1,4	0,16		1,4	0,15
	2,2	0,09		1,5	0,15		1,5	0,16		2,3	0,09		1,5	0,16		1,5	0,15
	2,3	0,09		1,6	0,14		1,6	0,15		2,4	0,09		1,6	0,15		1,6	0,14
	2,4	0,08		1,7	0,14		1,7	0,15		2,5	0,06		1,7	0,15		1,7	0,14
	2,5	0,06		1,8	0,13		1,8	0,15		2,6	0,05		1,8	0,15		1,8	0,13
	2,6	0,05		1,9	0,11		1,9	0,12		2,7	0,05		1,9	0,12		1,9	0,11
	2,7	0,05		2,0	0,11		2,0	0,11		2,8	0,05		2,0	0,11		2,0	0,11
	2,8	0,05		2,1	0,10		2,1	0,11		2,9	0,05		2,1	0,11		2,1	0,10
	2,9	0,05		2,2	0,07		2,2	0,08		3,0	0,04		2,2	0,08		2,2	0,07
	3,0	0,05		2,3	0,07		2,3	0,08		3,1	0,01		2,3	0,08		2,3	0,07
	3,1	0,01		2,4	0,07		2,4	0,07		3,2	0,01		2,4	0,07		2,4	0,07
	3,2	0,01		2,5	0,04		2,5	0,04		3,3	0,01		2,5	0,04		2,5	0,04
	3,3	0,01		2,6	0,04		2,6	0,04		3,4	0,01		2,6	0,04		2,6	0,04
	3,4	0,01		2,7	0,04		2,7	0,04		3,5	0,01		2,7	0,04		2,7	0,04
	3,5	0,01		2,8	0,04		2,8	0,04		3,6	0,01		2,8	0,04		2,8	0,04
	3,6	0,01		2,9	0,04		2,9	0,04		2,9	0,03		2,9	0,04		2,9	0,04
13	0,7	0,35	14	0,0	0,36	15	0,0	0,36									
	0,8	0,35		0,1	0,36		0,1	0,36									
	0,9	0,35		0,2	0,35		0,2	0,35									
	1,0	0,34		0,3	0,35		0,3	0,35									
	1,1	0,30		0,4	0,35		0,4	0,35									
	1,2	0,27		0,5	0,35		0,5	0,34									
	1,3	0,25		0,6	0,34		0,6	0,34									
	1,4	0,23		0,7	0,34		0,7	0,33									
	1,5	0,22		0,8	0,24		0,8	0,23									
	1,6	0,21		0,9	0,21		0,9	0,20									
	1,7	0,20		1,0	0,19		1,0	0,18									
	1,8	0,19		1,1	0,18		1,1	0,16									
	1,9	0,14		1,2	0,17		1,2	0,15									
	2,0	0,14		1,3	0,16		1,3	0,14									
	2,1	0,13		1,4	0,15		1,4	0,13									
	2,2	0,09		1,5	0,15		1,5	0,13									
	2,3	0,09		1,6	0,14		1,6	0,12									
	2,4	0,08		1,7	0,14		1,7	0,12									
	2,5	0,06		1,8	0,13		1,8	0,11									
	2,6	0,05		1,9	0,11		1,9	0,08									
	2,7	0,05		2,0	0,11		2,0	0,08									
	2,8	0,05		2,1	0,10		2,1	0,08									

STATO TENSIONALE NEL TERRENO - COMBINAZIONE:Freg 1

Filo N.ro	Quota m	Tens. kg/cmq	Filo N.ro	Quota m	Tens. kg/cmq	Filo N.ro	Quota m	Tens. kg/cmq	Filo N.ro	Quota m	Tens. kg/cmq	Filo N.ro	Quota m	Tens. kg/cmq	Filo N.ro	Quota m	Tens. kg/cmq
	2,9	0,05		2,2	0,07		2,2	0,06									
	3,0	0,05		2,3	0,07		2,3	0,06									
	3,1	0,01		2,4	0,07		2,4	0,05									
	3,2	0,01		2,5	0,04		2,5	0,04									
	3,3	0,01		2,6	0,04		2,6	0,04									
	3,4	0,01		2,7	0,04		2,7	0,03									
	3,5	0,01		2,8	0,04		2,8	0,03									
	3,6	0,01		2,9	0,04		2,9	0,03									

STATO TENSIONALE NEL TERRENO - COMBINAZIONE:Perm 1

Filo N.ro	Quota m	Tens. kg/cmq	Filo N.ro	Quota m	Tens. kg/cmq	Filo N.ro	Quota m	Tens. kg/cmq	Filo N.ro	Quota m	Tens. kg/cmq	Filo N.ro	Quota m	Tens. kg/cmq	Filo N.ro	Quota m	Tens. kg/cmq
1	0,0	0,35	2	0,0	0,35	3	0,0	0,35	4	0,0	0,35	5	0,0	0,35	6	0,0	0,35
	0,1	0,35		0,1	0,35		0,1	0,35		0,1	0,35		0,1	0,35		0,1	0,35
	0,2	0,35		0,2	0,35		0,2	0,35		0,2	0,35		0,2	0,35		0,2	0,35
	0,3	0,34		0,3	0,34		0,3	0,34		0,3	0,34		0,3	0,35		0,3	0,35
	0,4	0,33		0,4	0,33		0,4	0,33		0,4	0,33		0,4	0,34		0,4	0,34
	0,5	0,32		0,5	0,32		0,5	0,32		0,5	0,32		0,5	0,34		0,5	0,34
	0,6	0,18		0,6	0,18		0,6	0,18		0,6	0,18		0,6	0,33		0,6	0,34
	0,7	0,15		0,7	0,15		0,7	0,15		0,7	0,15		0,7	0,32		0,7	0,33
	0,8	0,13		0,8	0,13		0,8	0,13		0,8	0,13		0,8	0,23		0,8	0,24
	0,9	0,11		0,9	0,11		0,9	0,11		0,9	0,11		0,9	0,20		0,9	0,21
	1,0	0,10		1,0	0,10		1,0	0,10		1,0	0,10		1,0	0,18		1,0	0,19
	1,1	0,10		1,1	0,10		1,1	0,10		1,1	0,10		1,1	0,16		1,1	0,18
	1,2	0,09		1,2	0,09		1,2	0,09		1,2	0,09		1,2	0,15		1,2	0,17
	1,3	0,09		1,3	0,09		1,3	0,09		1,3	0,09		1,3	0,14		1,3	0,16
	1,4	0,08		1,4	0,08		1,4	0,08		1,4	0,08		1,4	0,13		1,4	0,15
	1,5	0,08		1,5	0,08		1,5	0,08		1,5	0,08		1,5	0,12		1,5	0,14
	1,6	0,08		1,6	0,08		1,6	0,08		1,6	0,08		1,6	0,12		1,6	0,14
	1,7	0,08		1,7	0,08		1,7	0,08		1,7	0,08		1,7	0,11		1,7	0,14
	1,8	0,08		1,8	0,08		1,8	0,08		1,8	0,08		1,8	0,11		1,8	0,13
	1,9	0,06		1,9	0,06		1,9	0,06		1,9	0,06		1,9	0,08		1,9	0,11
	2,0	0,06		2,0	0,06		2,0	0,06		2,0	0,06		2,0	0,08		2,0	0,10
	2,1	0,06		2,1	0,06		2,1	0,06		2,1	0,06		2,1	0,07		2,1	0,10
	2,2	0,04		2,2	0,04		2,2	0,04		2,2	0,04		2,2	0,06		2,2	0,07
	2,3	0,04		2,3	0,04		2,3	0,04		2,3	0,04		2,3	0,05		2,3	0,07
	2,4	0,04		2,4	0,04		2,4	0,04		2,4	0,04		2,4	0,05		2,4	0,07
	2,5	0,03		2,5	0,03		2,5	0,03		2,5	0,03		2,5	0,04		2,5	0,04
	2,6	0,03		2,6	0,03		2,6	0,03		2,6	0,03		2,6	0,04		2,6	0,04
	2,7	0,03		2,7	0,03		2,7	0,03		2,7	0,03		2,7	0,03		2,7	0,04
	2,8	0,03		2,8	0,03		2,8	0,03		2,8	0,03		2,8	0,03		2,8	0,04
	2,9	0,03		2,9	0,03		2,9	0,03		2,9	0,03		2,9	0,03		2,9	0,04

7	0,7	0,35	8	0,0	0,35	9	0,0	0,35	10	0,8	0,35	11	0,0	0,35	12	0,0	0,35
	0,8	0,35		0,1	0,35		0,1	0,35		0,9	0,35		0,1	0,35		0,1	0,35
	0,9	0,34		0,2	0,35		0,2	0,35		1,0	0,35		0,2	0,35		0,2	0,35
	1,0	0,34		0,3	0,35		0,3	0,35		1,1	0,30		0,3	0,35		0,3	0,35
	1,1	0,29		0,4	0,34		0,4	0,34		1,2	0,28		0,4	0,34		0,4	0,34
	1,2	0,27		0,5	0,34		0,5	0,34		1,3	0,26		0,5	0,34		0,5	0,34
	1,3	0,25		0,6	0,34		0,6	0,34		1,4	0,25		0,6	0,34		0,6	0,34
	1,4	0,23		0,7	0,33		0,7	0,34		1,5	0,23		0,7	0,34		0,7	0,33
	1,5	0,22		0,8	0,24		0,8	0,25		1,6	0,22		0,8	0,25		0,8	0,24
	1,6	0,21		0,9	0,21		0,9	0,22		1,7	0,21		0,9	0,22		0,9	0,21
	1,7	0,20		1,0	0,19		1,0	0,20		1,8	0,20		1,0	0,20		1,0	0,19
	1,8	0,19		1,1	0,18		1,1	0,19		1,9	0,15		1,1	0,19		1,1	0,18
	1,9	0,14		1,2	0,17		1,2	0,18		2,0	0,14		1,2	0,18		1,2	0,17
	2,0	0,13		1,3	0,16		1,3	0,17		2,1	0,13		1,3	0,17		1,3	0,16
	2,1	0,13		1,4	0,15		1,4	0,16		2,2	0,10		1,4	0,16		1,4	0,15
	2,2	0,09		1,5	0,14		1,5	0,16		2,3	0,09		1,5	0,16		1,5	0,14
	2,3	0,09		1,6	0,14		1,6	0,15		2,4	0,09		1,6	0,15		1,6	0,14
	2,4	0,08		1,7	0,14		1,7	0,15		2,5	0,05		1,7	0,15		1,7	0,14
	2,5	0,06		1,8	0,13		1,8	0,14		2,6	0,05		1,8	0,14		1,8	0,13
	2,6	0,05		1,9	0,11		1,9	0,12		2,7	0,05		1,9	0,12		1,9	0,11
	2,7	0,05		2,0	0,10		2,0	0,11		2,8	0,05		2,0	0,11		2,0	0,10
	2,8	0,05		2,1	0,10		2,1	0,11		2,9	0,04		2,1	0,11		2,1	0,10
	2,9	0,05		2,2	0,07		2,2	0,08		3,0	0,04		2,2	0,08		2,2	0,07
	3,0	0,04		2,3	0,07		2,3	0,07		3,1	0,01		2,3	0,07		2,3	0,07
	3,1	0,01		2,4	0,07		2,4	0,07		3,2	0,01		2,4	0,07		2,4	0,07
	3,2	0,01		2,5	0,04		2,5	0,04		3,3	0,01		2,5	0,04		2,5	0,04
	3,3	0,01		2,6	0,04		2,6	0,04		3,4	0,01		2,6	0,04		2,6	0,04
	3,4	0,01		2,7	0,04		2,7	0,04		3,5	0,01		2,7	0,04		2,7	0,04
	3,5	0,01		2,8	0,04		2,8	0,04		3,6	0,01		2,8	0,04		2,8	0,04
	3,6	0,01		2,9	0,04		2,9	0,04		2,9	0,03		2,9	0,04		2,9	0,04

Il presente documento è di proprietà della ANTEX GROUP srl.
È vietato la comunicazione a terzi o la riproduzione senza il permesso scritto della suddetta.
La società tutela i propri diritti a rigore di Legge.

Comm.: C21-036-S05

ISO 9001
BUREAU VERITAS
Certification



STATO TENSIONALE NEL TERRENO - COMBINAZIONE:Perm 1

Filo N.ro	Quota m	Tens. kg/cmq	Filo N.ro	Quota m	Tens. kg/cmq	Filo N.ro	Quota m	Tens. kg/cmq	Filo N.ro	Quota m	Tens. kg/cmq	Filo N.ro	Quota m	Tens. kg/cmq	Filo N.ro	Quota m	Tens. kg/cmq
13	0,7	0,35	14	0,0	0,35	15	0,0	0,35									
	0,8	0,35		0,1	0,35		0,1	0,35									
	0,9	0,34		0,2	0,35		0,2	0,35									
	1,0	0,34		0,3	0,35		0,3	0,35									
	1,1	0,29		0,4	0,34		0,4	0,34									
	1,2	0,27		0,5	0,34		0,5	0,34									
	1,3	0,25		0,6	0,34		0,6	0,33									
	1,4	0,23		0,7	0,33		0,7	0,32									
	1,5	0,22		0,8	0,24		0,8	0,23									
	1,6	0,21		0,9	0,21		0,9	0,20									
	1,7	0,20		1,0	0,19		1,0	0,18									
	1,8	0,19		1,1	0,18		1,1	0,16									
	1,9	0,14		1,2	0,17		1,2	0,15									
	2,0	0,13		1,3	0,16		1,3	0,14									
	2,1	0,13		1,4	0,15		1,4	0,13									
	2,2	0,09		1,5	0,14		1,5	0,12									
	2,3	0,09		1,6	0,14		1,6	0,12									
	2,4	0,08		1,7	0,14		1,7	0,11									
	2,5	0,06		1,8	0,13		1,8	0,11									
	2,6	0,05		1,9	0,11		1,9	0,08									
	2,7	0,05		2,0	0,10		2,0	0,08									
	2,8	0,05		2,1	0,10		2,1	0,07									
	2,9	0,05		2,2	0,07		2,2	0,06									
	3,0	0,04		2,3	0,07		2,3	0,05									
	3,1	0,01		2,4	0,07		2,4	0,05									
	3,2	0,01		2,5	0,04		2,5	0,04									
	3,3	0,01		2,6	0,04		2,6	0,04									
	3,4	0,01		2,7	0,04		2,7	0,03									
	3,5	0,01		2,8	0,04		2,8	0,03									
	3,6	0,01		2,9	0,04		2,9	0,03									